

รายการอ้างอิง

- Abernathy, F.H. (Sept.1962). *Flow over an inclined plate.* Trans. ASME. pp. 380-388.
- Aichouni, M.; Laws, E.M.; and Ouazzane, A.K. 1996. *Experimental study of the effects of upstream flow condition upon venturi flow meter performance.* Flow Modeling and Turbulence Measurement VI.
- Barbin, A.R.; and Jones, J.B. 1963. *Turbulent flow in the inlet region of a smooth pipe.* J. Basic Eng. Vol.85 pp. 29-34.
- Bowlus, D.A.; and Brighton, J.A. 1968. *Incompressible turbulent flow in the inlet region of a Pipe.* J. Basic Eng. Vol. 90 pp. 431-433.
- Brenan, J.A.; Sintt, C.F.; Lewis, M.A.; and Scott, J.L. 1991. *Choosing flow conditioners and their location for orifice flow measurement.* Flow Measurement and Instrumentation Vol. 2 No. 1 pp. 40-44.
- Chen, R.Y. 1973. *Flow in the entrance region at low reynolds numbers.* J. Fluids Eng. Vol. 95 pp. 153-158.
- Fage, A.; and Johansen, F.C. 1927. On the flow of air behind an inclined flat plate of infinite span. Proceeding of The Royal Society. London, England. Series A vol. 116 pp. 170-197.
- Filippov, G.V. 1958. *On turbulent flow in the entrance length of a straight tube of circular cross-section.* Sov. Phys.-Techn. Phys. Vol. 32 No. 8 pp. 1681-1686.
- Gajan, P.; Hebrard, P.; Millan, P.; and Giovanni, A. 1991. *Basic study of flow metering of fluids in pipes containing an orifice plate.* Gas Research Institute.

- Harnett, J.P.; Koh, J.C.Y.; and McComas, S.T. 1962. *A comparison of predicted and measured friction factors for turbulent flow through rectangular ducts.* J. Heat Trans. Vol. 84 pp. 82-88.
- Holdhusen, J.S. 1952. *The turbulent boundary layer in the inlet region of a smooth pipe.* Ph.D. Thesis Univ. of Minnesota, Minneapolis.
- Hornbeck, R.W. 1964. *Laminar flow in the entrance region of a pipe.* Appl. Sci. Res. Vol. A13 pp. 224-232.
- Kays, W.M.; and Crawford, M.E. 1980. Convective Heat and Mass Transfer 2nd ed. McGraw-Hill. pp. 66-68.
- Langhaar, H.L. 1942 J. Appl. Mech. Vol.9.
- Latzko, H. 1944. Angew. Math. Mech. Vol. 1 pp. 268-290.
- Laws, E.M.; Ouazzane, A.K.; and Erdal., A. 1994. *Short installations for accurate orifice plate flow metering.* Turbulence Control FED-Vol.193 pp. 27-36 ASME.
- Lew, H.S.; and Fung, Y.C. 1970. J. Biomech Vol.3 pp. 23-28.
- Marco, S.M.; and Han, L.S. 1955. *A note on limiting nusselt number in duct with constant temperature gradient by analogy to thin-plate theory.* Trans. ASME Vol. 77 pp. 625-630.
- Miller, R.W.; and Han, L.S. 1971. *Pressure loss for laminar flow in the entrance region of duct of rectangular and equilateral triangular cross sections.* J. Appl. Mech. Vol. 38 pp. 1083-1087.
- Morrison, G.L.; Panak, D.L.; and De Otte, R.E. (Jun. 1992a). *Numerical study of the effects of upstream flow condition upon orifice flow meter performance.* ASME 11th Inter. Conf. on Offshore Mechanics and Arctic Engineering Calgary, Alberta , Canada.

- Morrison, G.L.; Deotte, R.E.; and Beam, E.J. (Mar. 1992b). *Installation effects upon orifice flow meters.* 71st Annual Gas Processors Association Convention Anaheim, CA.
- Na, T.Y.; and Lu, Y.P. 1973. *Turbulent flow development characteristics in channel inlets.* Appl. Sci. Res. Vol. 27 pp. 425-439.
- Nikuradse, J. 1926. *Untersuchungen über die Geschwindigkeitsverteilung in Turbulent Stromungen.* VDI-Forschungshelf No. 281.
- Pauley, W.R.; and Eaton, J.K. 1988. *Experimental study of the development of longitudinal vortex pairs embedded in turbulent boundary layer.* AIAA J. Vol. 26 No.7 pp.816-823.
- Prandtl, L. 1927. *Über den Reibungswiderstand Stromender Luft, Ergeb. Aerodyn. Versuch., Gottingen, III ser., English Transl., NACA TM 435.*
- Purday, H.F.P. 1949. Streamline Flow, Constable London.
- Schmidt, F.W.; and Zeldin, B. 1969. AIChE J. Vol. 13 pp. 65-73.
- SMACNA, 1990. *HVAC systems-duct design.* 3 rd ed. U.S.A.: Sheet Metal and Air Conditioning Contractors National Association.
- White, F.M. 1974. Viscous Fluid Flow 2nd ed. McGraw-Hill, pp. 336-338.
- Wiginton, C.L.; and Dalton, C. 1970. *Incompressible laminar flow in the entrance region of a rectangular duct.* J. Appl. Mech. Vol. 37 pp. 854-856.
- Zhi-qing, W. 1982. Study on correction coefficients of laminar and turbulent entrance region effect in round pipe. Appl. Math. Mech. Vol. 3 No.3 pp. 433-446.



ภาควิชานวัตกรรม

สถาบันวิทยบริการ จุฬาลงกรณ์มหาวิทยาลัย

ภาคผนวก ก

Total pressure loss coefficient (K)

ในรูปที่ ก.1 เป็นภาพแสดงการไหกภายในท่อที่มีสิ่งกีดขวาง โดยหน้าตัดที่ 1 และ 2 แสดงถึงหน้าตัดทางเข้าและทางออกของ control volume ตามล่าเด้น (ในการพิจารณาทางออกจะพิจารณาให้หน้าตัดทางเข้าอยู่ที่ $x/D = -2$ ส่วนหน้าตัดทางออกจะเป็นหน้าตัดที่เกิดการเพิ่มตัวของความดันสถิต จนกระทั่งมีค่าสูงสุด) ซึ่งสมการพลังงานสามารถเขียนได้ดังนี้

$$\dot{Q} + \dot{W}_s + \dot{W}_{shear} + \dot{W}_{other} = \frac{\partial}{\partial t} \int_{cv} \rho e dV + \int_{cs} (e + Pv) \rho \bar{V} dA \quad (\text{ก.1})$$

โดยที่ \dot{Q} คือ อัตราการถ่ายเทความร้อน

\dot{W}_s คือ งานจาก shaft

\dot{W}_{shear} คือ งานของ shear

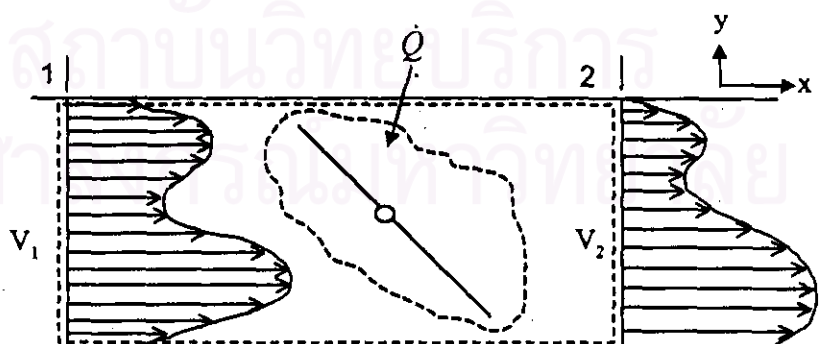
\dot{W}_{other} คือ งานอื่นๆ

e คือ energy per unit mass = $u + \frac{1}{2}V^2 + gz$

P คือ ความดันสถิต

v คือ specific volume

ρ คือ ความหนาแน่น



รูปที่ ก.1 ไหกแบบการไหกผ่านแคมเบอร์

โดยที่ V เป็น local velocity ที่ตำแหน่งใดๆ ในหน้าตัด

ถ้าสมมุติให้เป็นแบบ incompressible, steady-in-mean และ neglect \dot{W}_{shear} ที่ 1 และ 2 รวมทั้งสมมุติให้ $\dot{W}_s = \dot{W}_{other} = 0$ สมการ (ก.1) จะลดรูปเป็น

$$\dot{Q} = \int_{cs} (e + Pv) \rho V d\bar{A} \quad (\text{ก.2})$$

เนื่องจาก e เท่ากับพารามของพลังงานภายใน (u), พลังงานจอก ($\frac{1}{2}V^2$) และพลังงานศักย์ (gz) เมื่อแทนค่าเข้าไปในสมการ (ก.2) จะได้ว่า

$$\begin{aligned} \dot{Q} &= \int_{cs} (u + \frac{1}{2}V^2 + gz + Pv) dm \\ \dot{Q} - \int_{cs} u dm &= \frac{1}{\rho} \int_{cs} (\frac{1}{2} \rho V^2 + \rho gz + P) dm \end{aligned} \quad (\text{ก.3})$$

เทอม $\dot{Q} - \int_{cs} u dm$ เป็นพลังงานก่อการไหสูญเสียไป หรือ loss นั่นเอง ถ้าสมมุติให้ระดับที่ทางเข้าและทางออกเท่ากัน จะได้ว่า

$$K' = \frac{1}{m} [\dot{Q} - \int_{cs} u dm] = \frac{1}{\rho} \left[\frac{1}{m} \int_{cs} \left(P + \frac{1}{2} \rho V^2 \right) dm \right] \quad (\text{ก.4})$$

เมื่อ K' คือ อัตราการสูญเสียพลังงานก่อต่อหน่วยมวล ดังสมการ (ก.4)

ถ้านิยามให้ $P_o = P + \frac{1}{2} \rho V^2$ เป็นความดันรวม สมการ (ก.4) สามารถเขียนใหม่ได้เป็น

$$K' = \frac{\overline{P_{o2}} - \overline{P_{o1}}}{\rho} \quad (\text{ก.5})$$

เมื่อ \overline{X} คือ mass average ของปริมาณ X ซึ่งนิยามเป็น

$$\overline{X} = \frac{1}{m} \int X dm \quad (\text{ก.6})$$

สมการ (ก.5) นั้น สามารถใช้ได้กับการไหภายนในท่อที่มีลักษณะของ vector ความเร็ว (รวมทั้ง 3 แกน) สำหรับในการผิวการวัด โดยใช้ pitot probe นั้น ความดันรวมที่เกิดขึ้นจะเกิดจาก component ของความเร็วในแนวแกนของ probe เท่านั้น

นอกจากนี้ ถ้าสมมุติให้การไหลที่หน้าตัดใด ๆ เป็นแบบสม่ำเสมอ จะได้ว่า

$$K = \frac{1}{\rho} \left[\frac{1}{\rho V A} \int_{cs} P_o \rho V dA \right] = \frac{1}{\rho} \left[\frac{1}{A} \int_{cs} P_o dA \right]$$

หรือ $K = \frac{\hat{P}_{o2} - \hat{P}_{o1}}{\rho}$ (ก.7)

เมื่อ \hat{X} คือ area-average ของปริมาณ X ซึ่งนิยามโดย

$$\hat{X} = \frac{1}{A} \int X dA \quad (ก.8)$$

นอกจากนั้น สามารถนิยามสัมประสิทธิ์การสูญเสียพลังงานก่อต่อหน่วยพลังงานลงที่ทางเข้าโดย

$$K = \frac{\left[\dot{Q} - \int_{cs} u dm \right]}{\int \frac{1}{2} V^2 dm} = \frac{\frac{1}{\rho} \int_{cs} P_o dm}{\int \frac{1}{2} V^2 dm}$$

จะได้ว่า

$$K = \frac{\frac{1}{\dot{m}} \int_{cs} P_o dm}{\frac{1}{\dot{m}} \int \left(\frac{1}{2} \rho V^2 \right) dm} = \frac{\overline{P}_{o2} - \overline{P}_{o1}}{\overline{q}_1} \quad (ก.9)$$

นั่น อย่างไรก็ตาม ในทางปฏิบัติ โดยมากในกรณีของ incompressible นิยมที่จะใช้ค่า area-average แทน ดังนั้น ในกรณีนี้ K จะนิยามโดย

$$K = \frac{\hat{P}_{o2} - \hat{P}_{o1}}{\hat{q}} \quad (ก.10)$$

ภาคผนวก ข

ค่าสัมประสิทธิ์การสูญเสียของการไหลของอากาศผ่านడัมเปอร์(SMACNA(1990))

1-Blade Damper, Butterfly

H/W	θ									
	0	10	20	30	40	50	60	70	80	90
0.12	0.04	0.3	1.1	3.0	8.0	23.0	60.0	100	190	10^5
0.25	0.08	0.33	1.18	3.3	9.0	26.0	70.0	128	210	10^5
1.0	0.08	0.33	1.18	3.3	9.0	26.0	70.0	128	210	10^5
2.0	0.13	0.35	1.25	3.6	10.0	29.0	80.0	155	230	10^5

Multi-blade Damper, Parallel Blades *

L/R	θ									
	0	10	20	30	40	50	60	70	80	
0.3	0.52	0.79	1.4	2.3	5.0	9.0	14	32	116	
0.4	0.52	0.85	1.5	2.4	6.0	9.0	16	38	152	
0.5	0.52	0.92	1.5	2.4	6.0	9.0	18	45	188	
0.6	0.52	0.92	1.5	2.4	5.4	9.0	21	45	245	
0.8	0.52	0.92	1.5	2.5	5.4	9.0	22	55	284	
1.0	0.52	1.0	1.6	2.6	5.4	10	24	65	361	
1.5	0.52	1.0	1.6	2.7	5.4	10	28	102	576	

* Damper blades with crimped leaf edges and $\frac{1}{4}$ in. (6 mm) metal damper frame.

$$\frac{L}{R} = \frac{NW}{2(H+W)}$$

where N is number of damper blades

W is duct dimension parallel to blade axis

L is sum of damper blade lengths

R is perimeter of duct

H is duct dimension perpendicular to blade axis

ภาคผนวก ๑

การกระจายตัวของความเร็ว

ในการแสดงถึงผลของการกระจายตัวของความเร็วในหน้าตัด โดย V นั้น จะแสดงโดยเส้น contour ของตัวแปร V ซึ่งนิยามโดย

$$V = \sqrt{\frac{2(P_o - \bar{P})}{\rho}}$$

โดยที่ P_o คือ ค่าความดันรวมที่วัดได้ภายในหน้าตัดของการไอล โดยใช้ Pitot probe

\bar{P} คือ ความดันสถิตเฉลี่ย ซึ่งวัดจาก header ซึ่งต่ออยู่กับ pressure tap ที่ติดตั้งอยู่ที่บริเวณด้านข้างของท่อหัว 14 จุด

ρ คือ ความหนาแน่นของอากาศ

การที่ในการคำนวณหาค่าความเร็วในการทดสอบ ไม่ใช้ค่าความดันสถิตที่วัดได้จาก Pitot-Static Probe โดยตรง เพราะว่า ที่บันทึกด้านหลังแผ่นแดมเปอร์มีพิษทางการไอลของอากาศที่ไม่แน่นอน จึงส่งผลทำให้ค่าความดันสถิตที่วัดได้ด้วยวิธีดังกล่าวเกิดความผิดพลาดขึ้น ดังนั้นจึงเกือกใช้ค่าความดันสถิตเฉลี่ยที่เกิดขึ้นภายในหน้าตัดในการคำนวณแทนค่า local static pressure ที่วัดจาก Pitot-Static Probe

1. การไอลของอากาศภายในห้องป้องกัน ($D0-D$)

พิจารณาปุ่มที่ ค.๑ แสดงการกระจายตัวของความเร็วที่แต่ละหน้าตัดของการไอลพบว่า ที่ $x/D = -2$ พบว่าความเร็วภายในหน้าตัดจะมีค่าค่อนข้างสูงมาก (ประมาณ 7.5 เมตรต่อวินาที) และเมื่อการไอลพัฒนาต่อไป จะพบว่า พลังของร้อยต่อที่ยื่นเข้าไปในห้องทางด้านขวาดังที่ได้กล่าวไว้แล้ว ในตอนแรก จะทำให้บริเวณทางด้านซ้ายของหน้าตัดมีความเร็วสูงมากกว่าบริเวณอื่นภายในหน้าตัด ดังแสดงที่ตำแหน่ง $x/D = 1$ ถึง 10 โดยจะสังเกตที่เส้น contour ซึ่งมีค่าเท่ากับ 8 จะพบว่า ความเร็วสูงสุดภายในหน้าตัดซึ่งมีค่าเท่ากับ 8 จะเกิดขึ้นที่ทางด้านซ้ายเป็นวง contour ขนาดเล็ก จากนั้น จะมีขนาดขยายใหญ่ขึ้นสู่หนังทางด้านขวาของห้องท่อ จนกระทั่ง $x/D = 12$ จะพบว่า วง contour ดังกล่าวจะค่อนข้างมีความสมมาตรภายในหน้าตัด ต่อจากนั้น การไอลก็จะยังคงพัฒนาต่อไป ซึ่งจะสังเกตเห็นว่า ที่ $x/D = 36$ เป็นศูนย์กลางของ contour เริ่มที่จะมีขนาดใหญ่คี่กัน อันเป็นการแสดงให้

เห็นว่าการไหลดเริ่มเข้าสู่สภาวะพัฒนาเดิมที่ โดยมีค่าความเร็วสูงสุดภายในหน้าตัดประมาณ 8.5 เมตรต่อวินาที

2. การไหลดของอากาศผ่านแมมนเปอร์ชันดิ 1 แผ่น มม 30 องศา (D1-30)

พิจารณาปุ่มที่ ค.2 ซึ่งแสดงการกระจายตัวของความเร็วที่แต่ละหน้าตัดของการไหลดกรณี D1-30 โดยมีสภาวะเริ่มต้นที่ $x/D = -2$ เป็นความเร็วแบบสม่ำเสมอซึ่งมีค่าประมาณ 7.6 เมตรต่อวินาที จะพบว่า ที่บริเวณด้านหลังแผ่นแมมนเปอร์ เนื่องจากไม่สามารถทราบถึงทิศทางของการไหลดของอากาศที่แน่นอน ดังนั้นการที่จะใช้ Pitot probe วัดความเร็วของอากาศในบริเวณดังกล่าวจึงทำให้ค่าที่ได้มีความคลาดเคลื่อนจากความเป็นจริง ดังนั้น สำหรับการกระจายตัวของความเร็วของการไหลดของอากาศผ่านแมมนเปอร์ชนิดต่าง ๆ จึงจะพิจารณาเฉพาะที่บริเวณซึ่งการไหลดเริ่มเข้าสู่สภาวะพัฒนาเดิมที่เท่านั้น ซึ่งจะพบว่า สำหรับในกรณี (D1-30) ลักษณะของ contour ในรูปที่ ค.2 มีแนวโน้มเริ่มที่จะมีขนาดคงที่ที่ x/D ประมาณ 36 เป็นต้นไป โดยมีค่าความเร็วสูงสุดภายในหน้าตัดประมาณ 8.5 เมตรต่อวินาที

3. การไหลดของอากาศผ่านแมมนเปอร์ชันดิ 1 แผ่น มม 45 องศา (D1-45)

พิจารณาปุ่มที่ ค.3 ซึ่งแสดงการกระจายตัวของความเร็วที่แต่ละหน้าตัดของการไหลดกรณี D1-45 โดยมีสภาวะเริ่มต้นที่ $x/D = -2$ เป็นความเร็วแบบสม่ำเสมอ ซึ่งมีค่าประมาณ 7.6 เมตรต่อวินาที จะพบว่าที่ x/D ประมาณ 50 เป็นต้นไป ลักษณะของ contour มีแนวโน้มเริ่มที่จะมีขนาดคงที่ โดยมีค่าความเร็วสูงสุดในหน้าตัดประมาณ 8.5 เมตรต่อวินาที

4. การไหลดของอากาศผ่านแมมนเปอร์ชันดิ 3 แผ่น มม 45 องศา (D3-45)

พิจารณาปุ่มที่ ค.4 ซึ่งแสดงการกระจายตัวของความเร็วที่แต่ละหน้าตัดของการไหลดกรณี D3-45 โดยมีสภาวะเริ่มต้นที่ $x/D = -2$ เป็นความเร็วแบบสม่ำเสมอ ซึ่งมีค่าประมาณ 7.6 เมตรต่อวินาที จะพบว่า ที่ x/D ประมาณ 40 เป็นต้นไป ลักษณะของ contour มีแนวโน้มเริ่มที่จะมีขนาดคงที่ โดยมีค่าความเร็วสูงสุดในหน้าตัดประมาณ 8.5 เมตรต่อวินาที

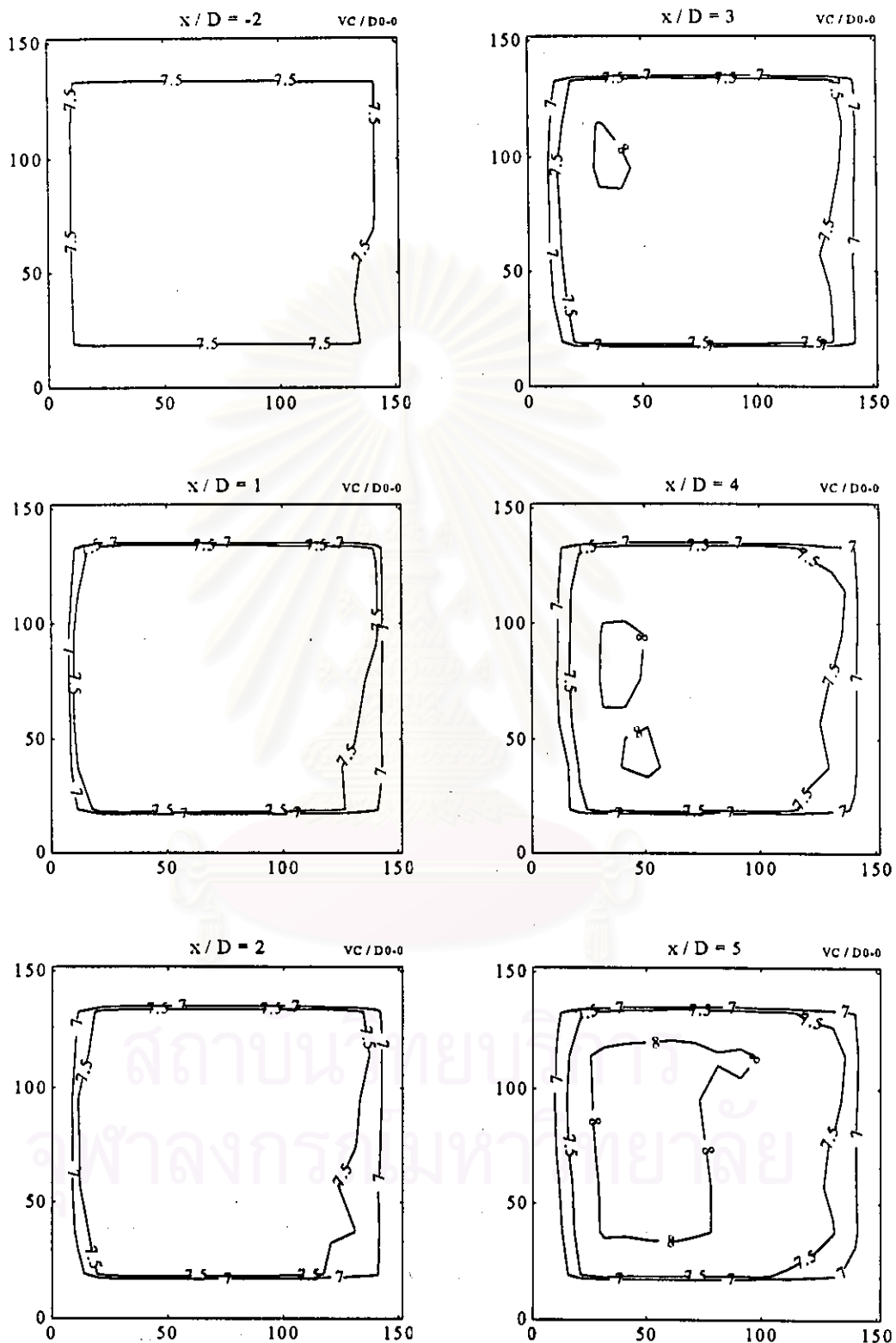
5. การไหลดของอากาศผ่านแมมนเปอร์ชันดิ 3 แผ่น มม 30 องศา (D3-30)

พิจารณาปุ่มที่ ค.5 ซึ่งแสดงการกระจายตัวของความเร็วที่แต่ละหน้าตัดของการไหลดกรณี D3-30 โดยมีสภาวะเริ่มต้นที่ $x/D = -2$ เป็นความเร็วแบบสม่ำเสมอ ซึ่งมีค่าประมาณ 7.6 เมตรต่อ

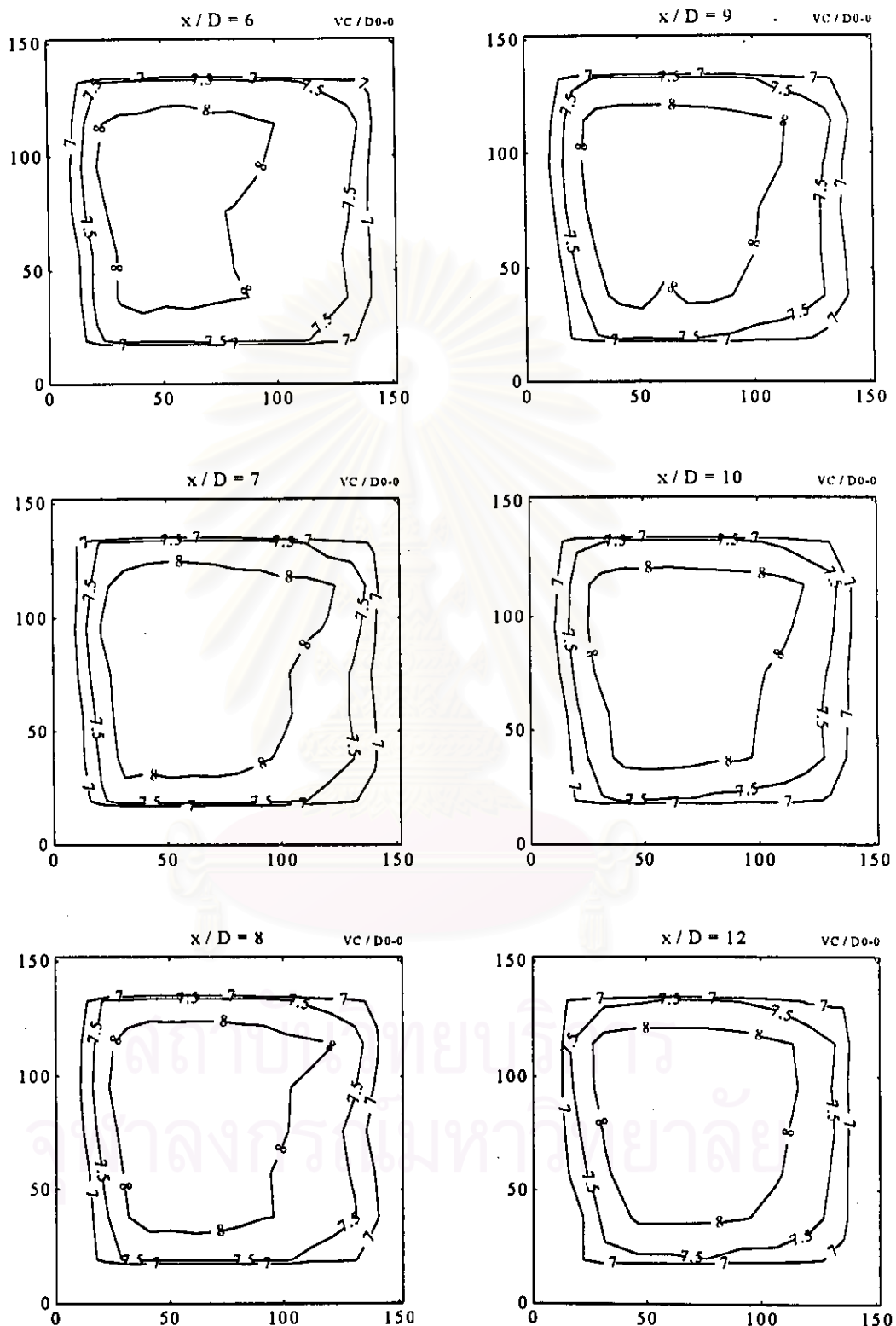
วินาที จะพบว่า ที่ x/D ประมาณ 48 เป็นต้นไป สักษณะของ contour มีแนวโน้มเริ่มที่จะมีขนาดคงที่ โคลบมีค่าความเร็วสูงสุดในหน้าตัดประมาณ 8.5 เมตรต่อวินาที

สำหรับ contour ซึ่งแสดงถึงค่าความแตกต่างของความเร็วภายในหน้าตัดของการทดลอง กรณีต่าง ๆ จะแสดงไว้ในภาคผนวก ง

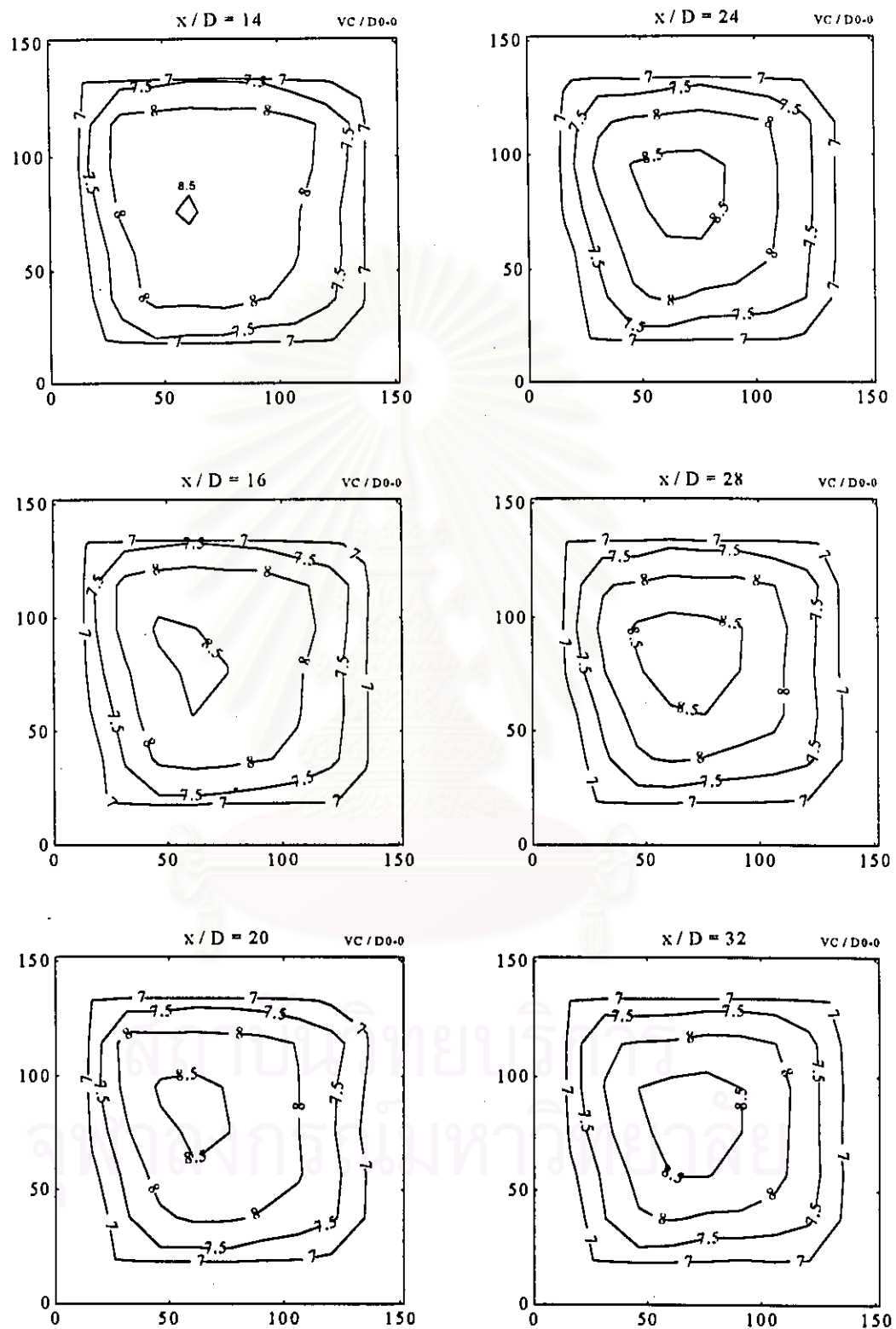




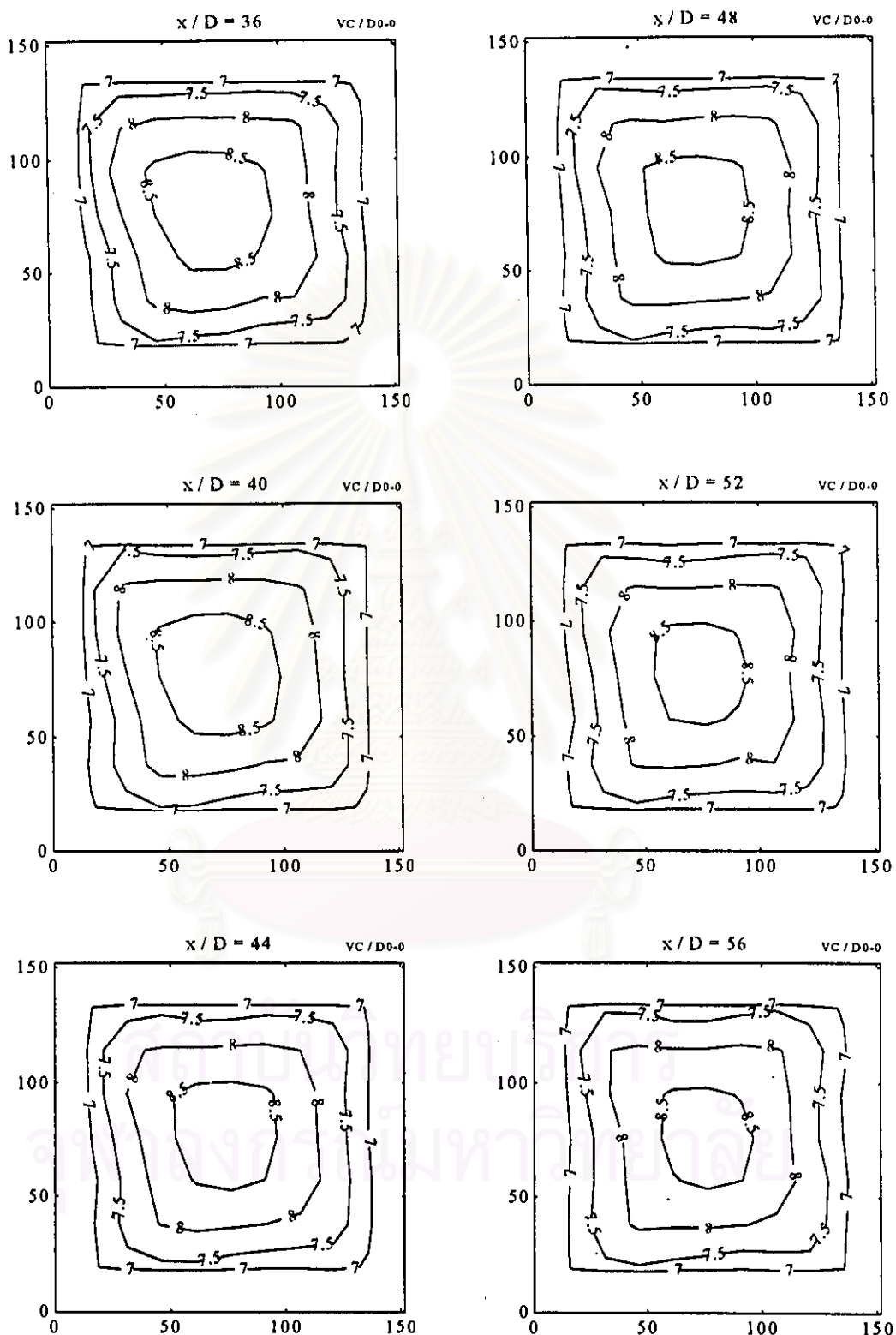
รูปที่ ก.1 Velocity Contour กรณี $D_0=0$ ที่ $x/D = -2, 1, 2, 3, 4$ และ 5



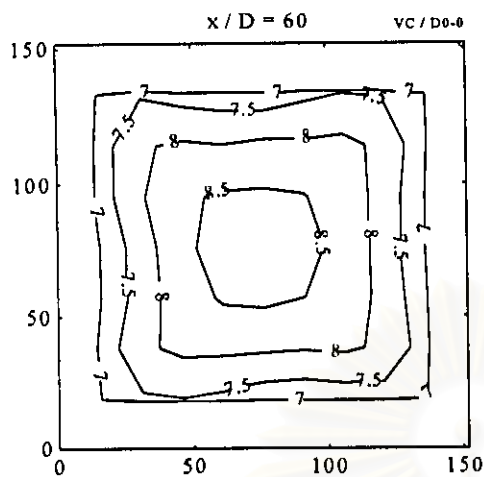
รูปที่ ก.1(ต่อ) Velocity Contour กรณี D_{0-0} ที่ $x/D = 6, 7, 8, 9, 10$ และ 12



รูปที่ ก.1(ต่อ) Velocity Contour กรณี $D0-0$ ที่ $x/D = 14, 16, 20, 24, 28$ และ 32

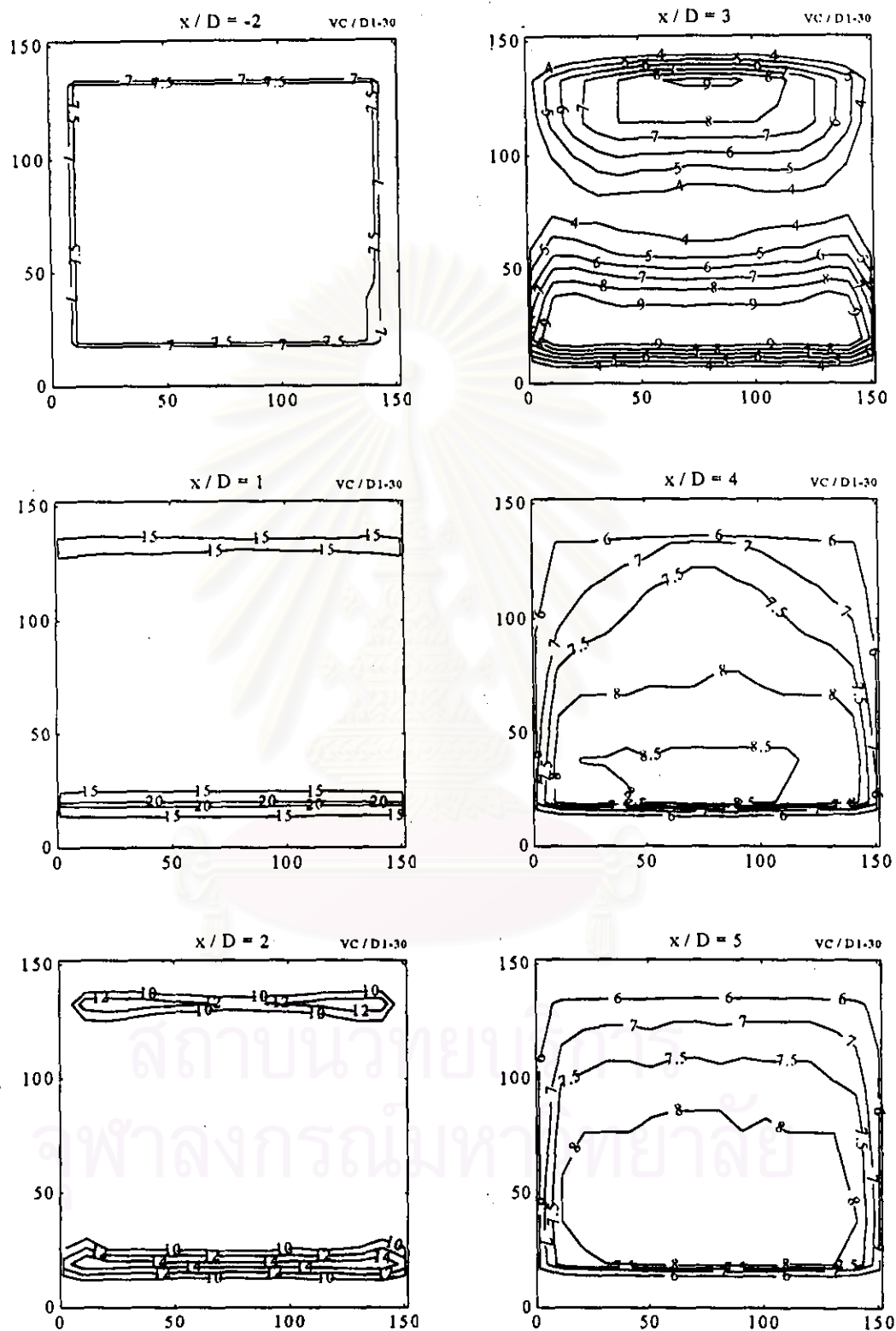


รูปที่ ก.1(ต่อ) Velocity Contour กรณี D_{0-0} ที่ $x/D = 36, 40, 44, 48, 52$ และ 56

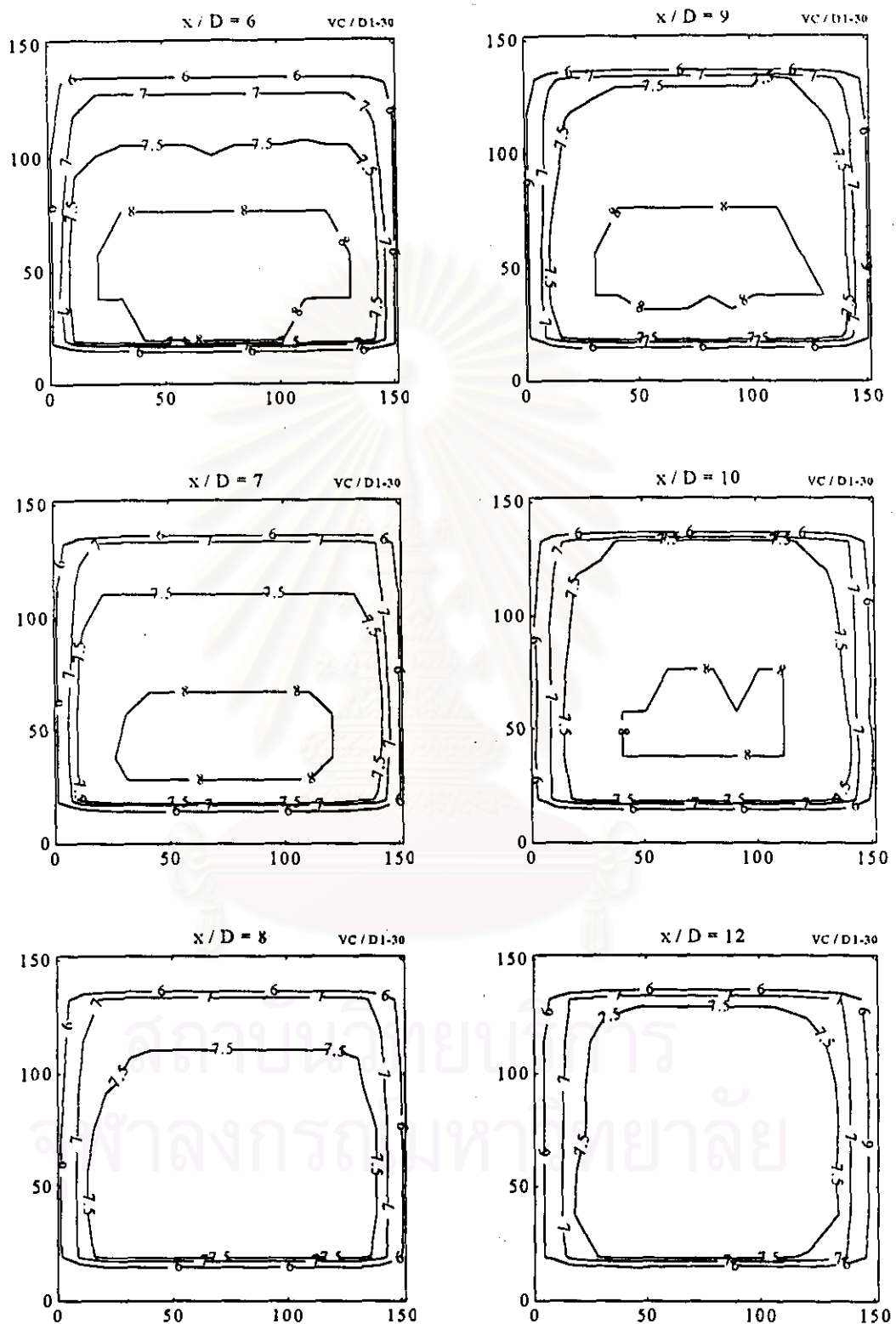


รูปที่ ก.1(ต่อ) Velocity Contour กรณี D0-0 ที่ $x / D = 60$

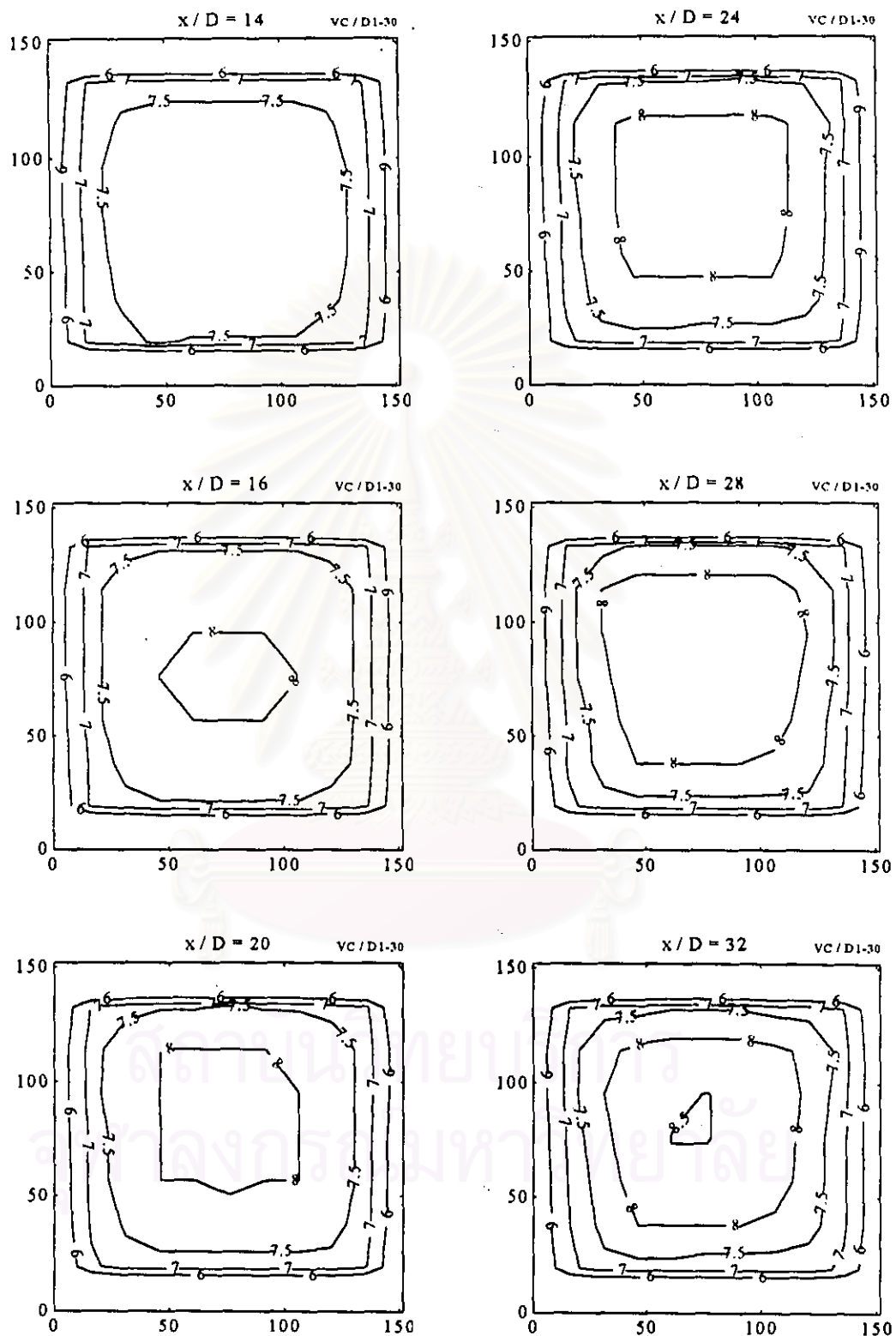
สถาบันวิทยบริการ
จุฬาลงกรณ์มหาวิทยาลัย



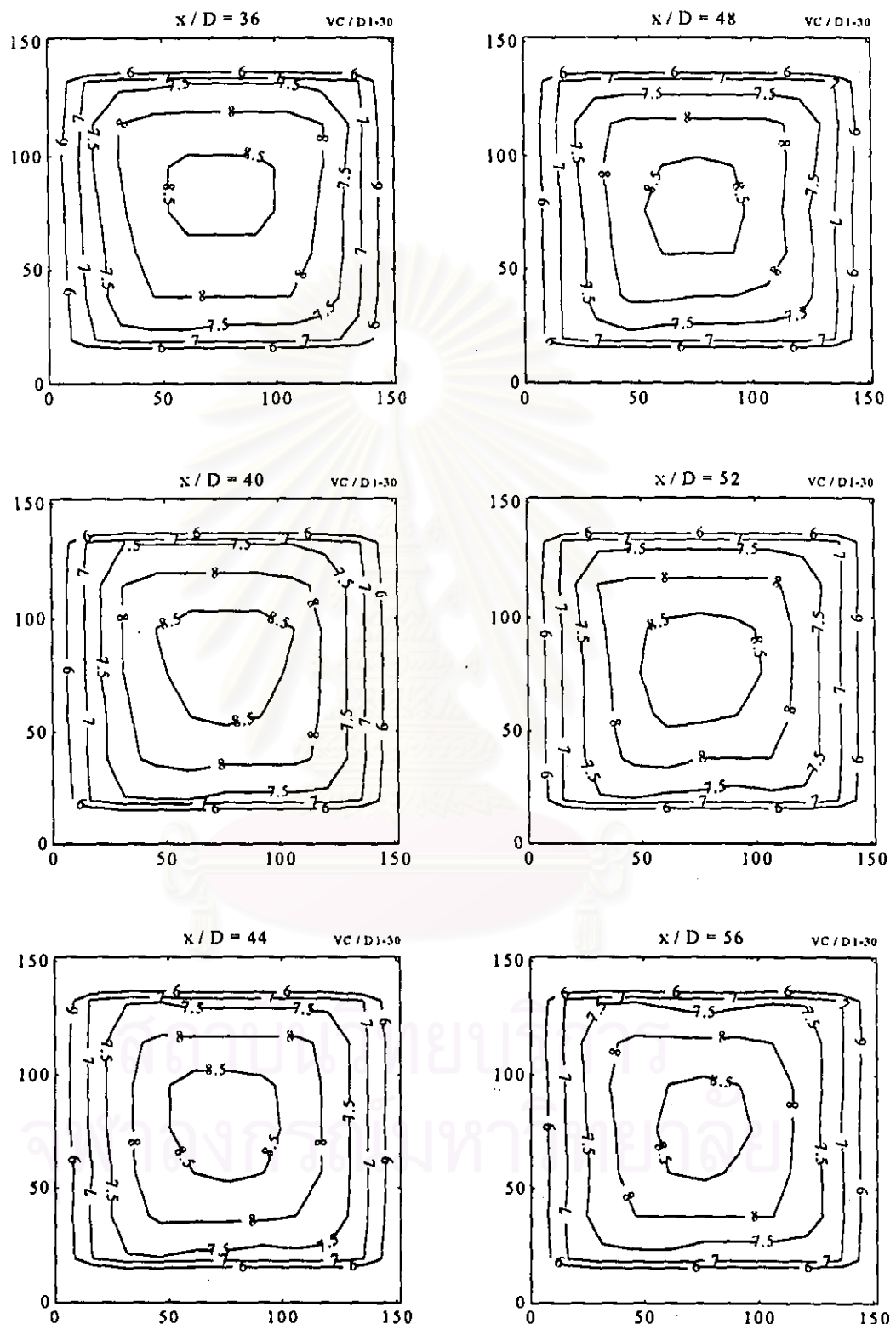
รูปที่ ค.2 Velocity Contour กรณี D1-30 ที่ $x/D = -2, 1, 2, 3, 4$ และ 5



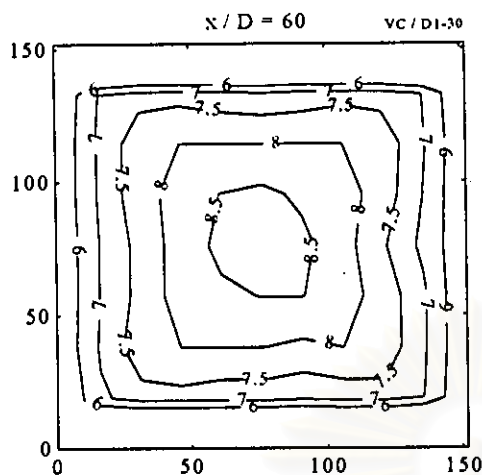
รูปที่ ก.2(ต่อ) Velocity Contour กรณี D1-30 ที่ $x/D = 6, 7, 8, 9, 10$ และ 12



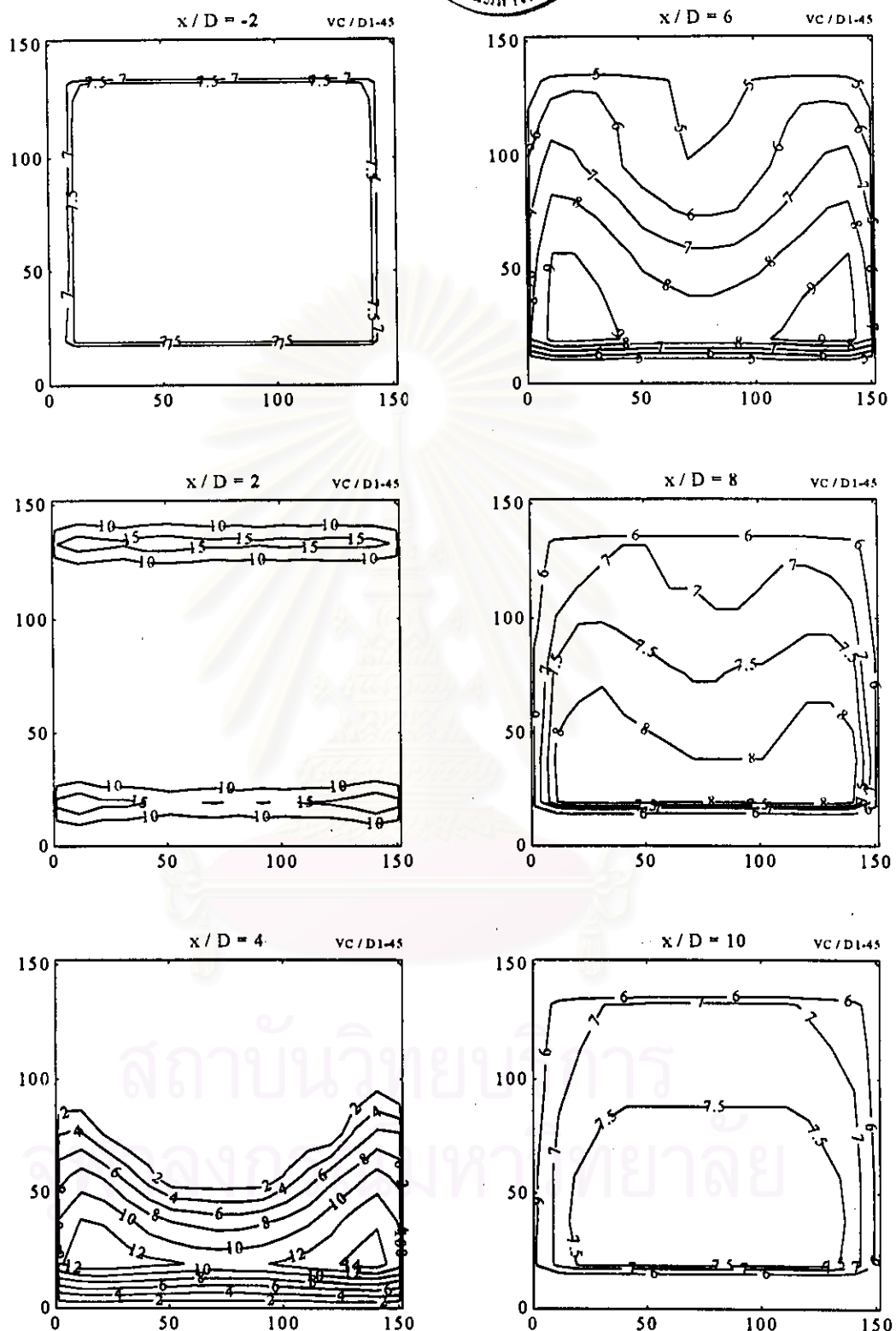
รูปที่ ค.2(ต่อ) Velocity Contour กรณี D1-30 ที่ $x/D = 14, 16, 20, 24, 28$ และ 32



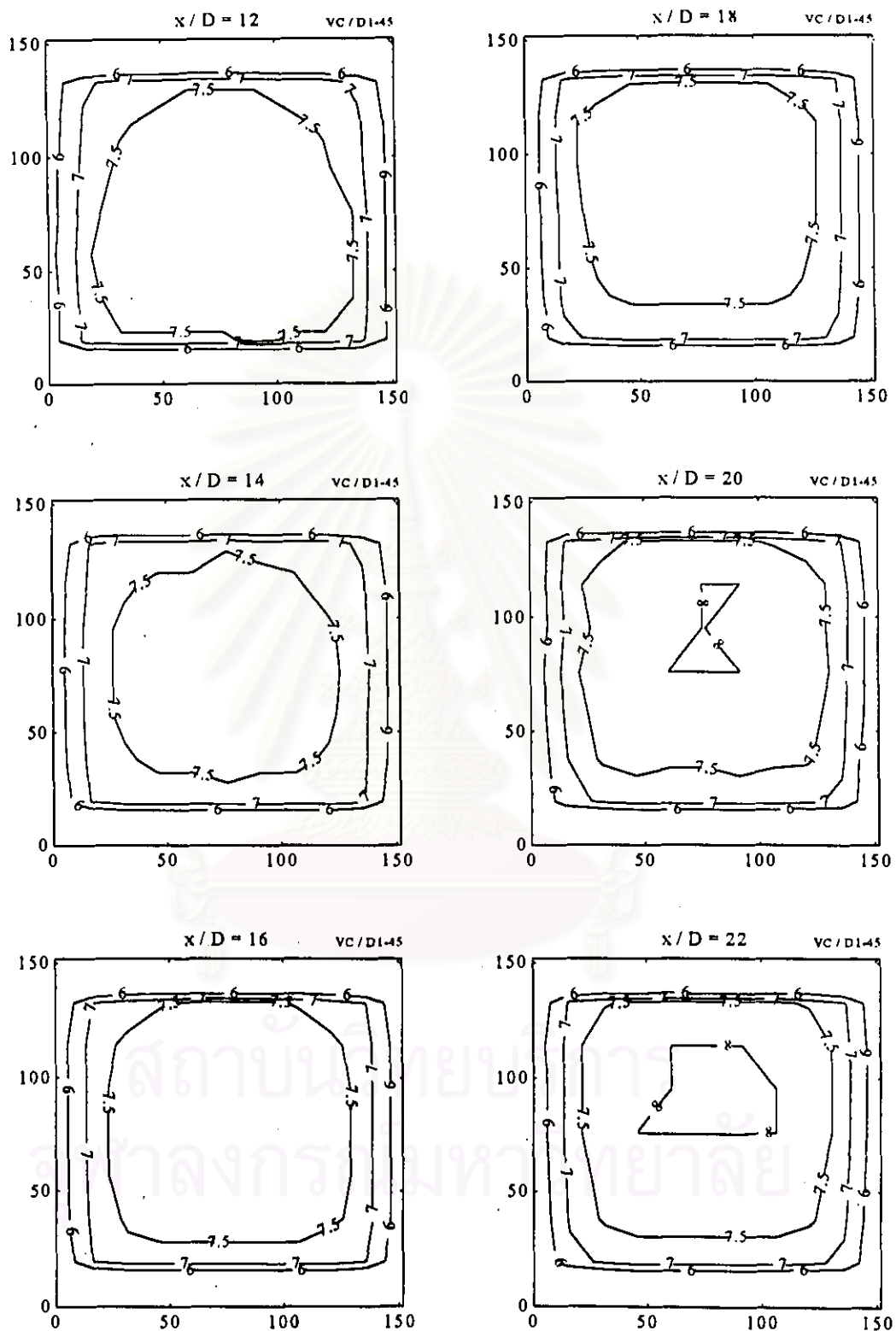
รูปที่ ก.2(ต่อ) Velocity Contour กรณี D1-30 ที่ $x/D = 36, 40, 44, 48, 52$ และ 56



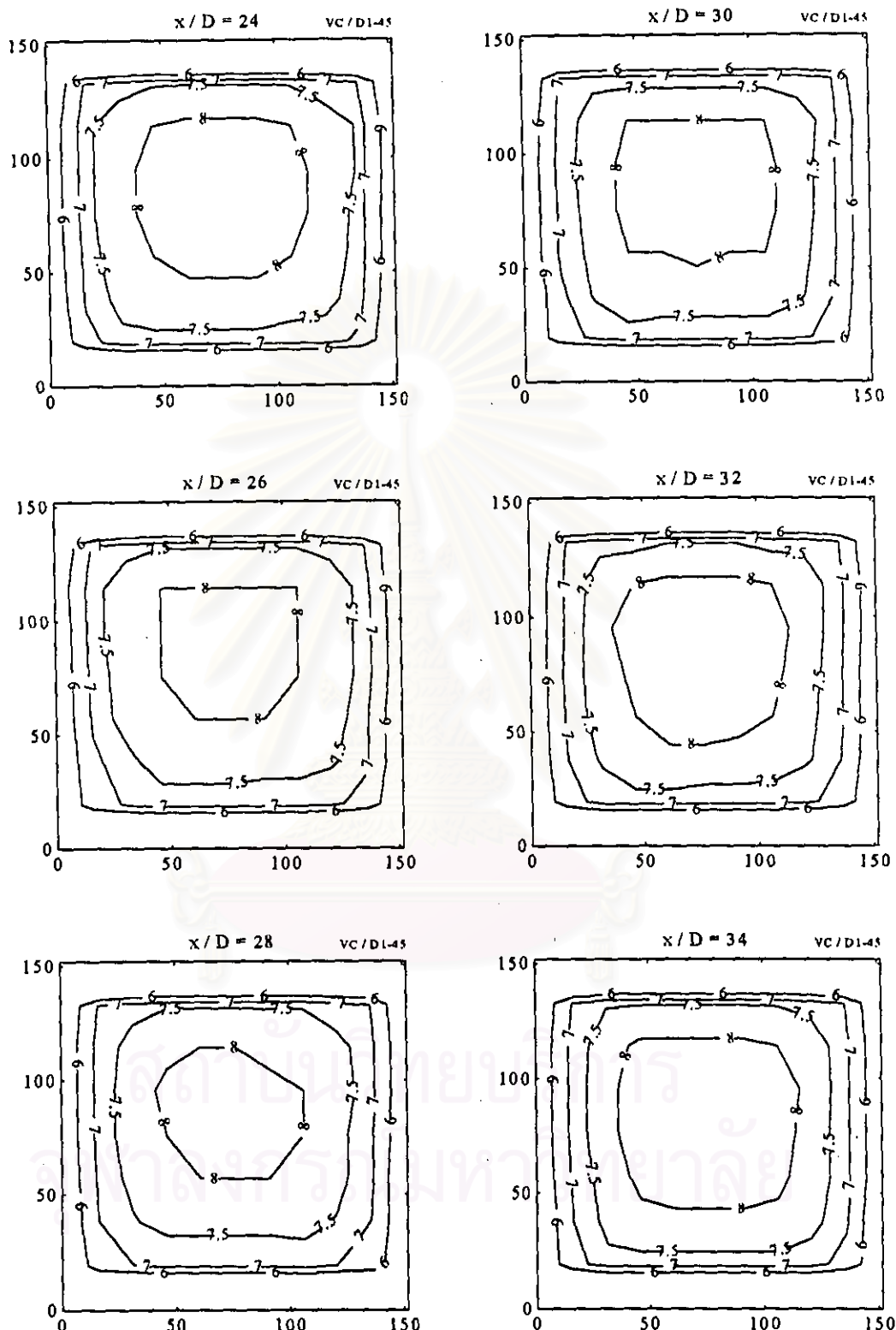
รูปที่ ก.2(ต่อ) Velocity Contour กรณี D1-30 ที่ $x / D = 60$



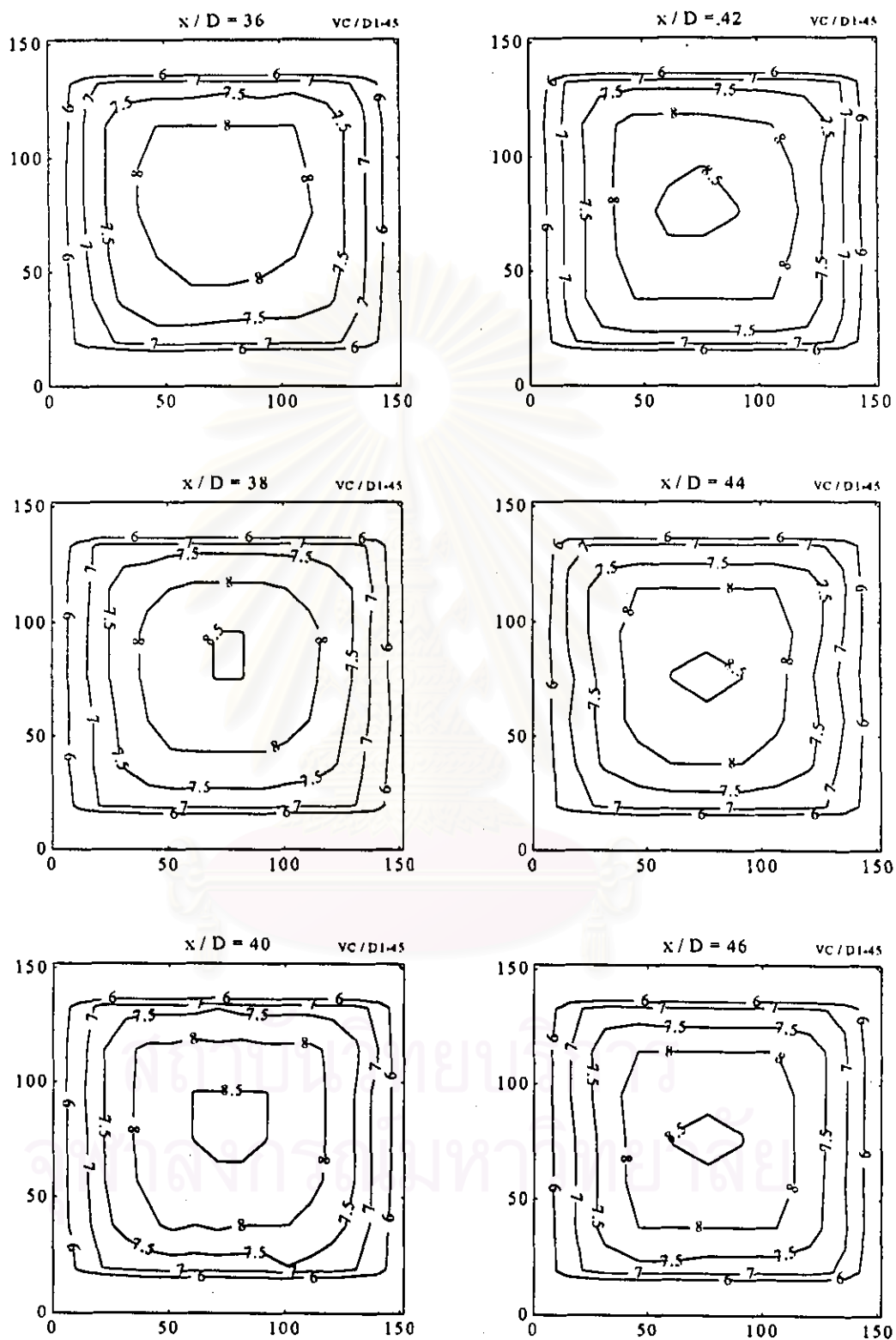
รูปที่ ค.3 Velocity Contour กรณี D1-45 ที่ $x / D = -2, 2, 4, 6, 8$ และ 10



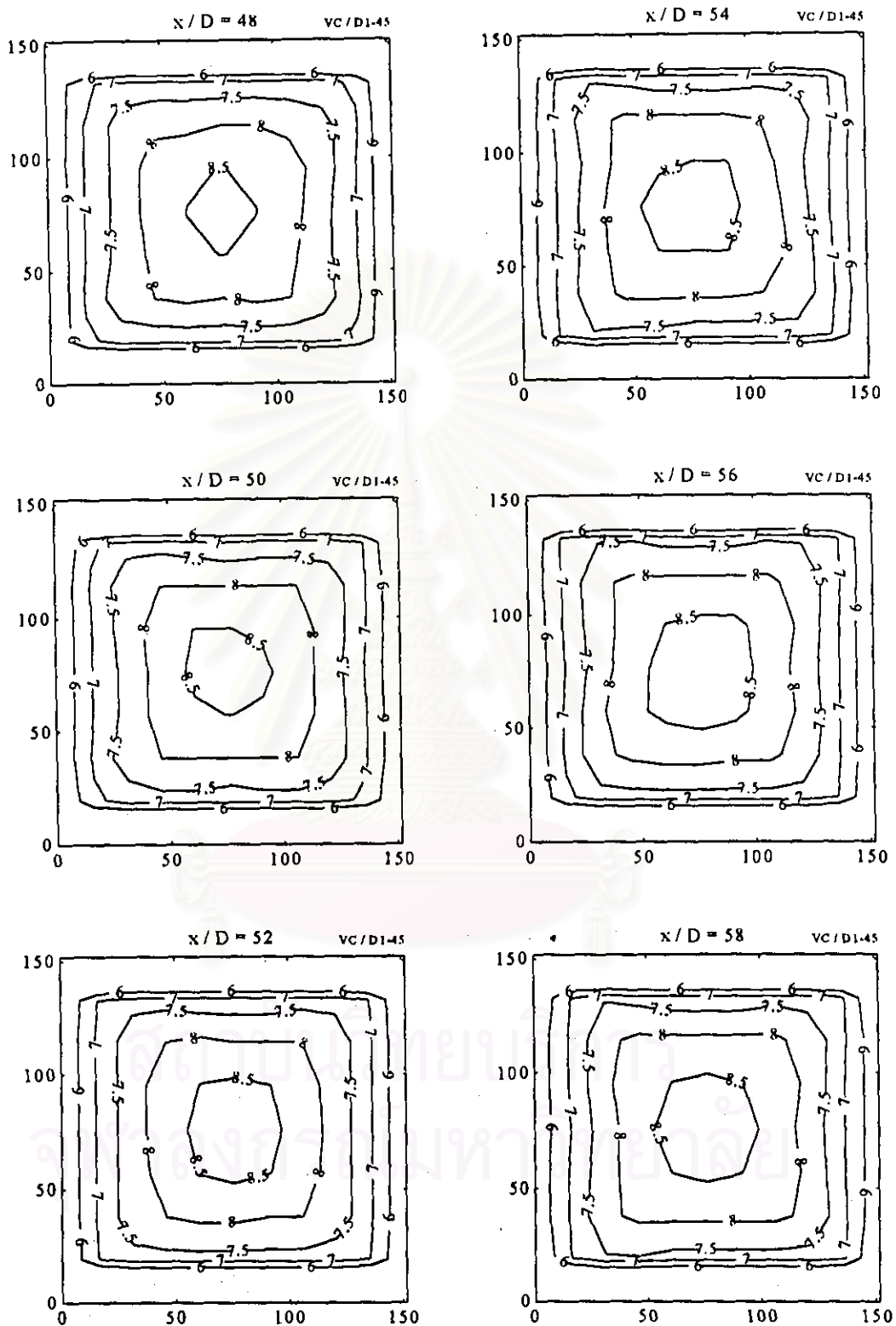
รูปที่ ก.3(ต่อ) Velocity Contour กรณี D1-45 ที่ $x/D = 12, 14, 16, 18, 20$ และ 22



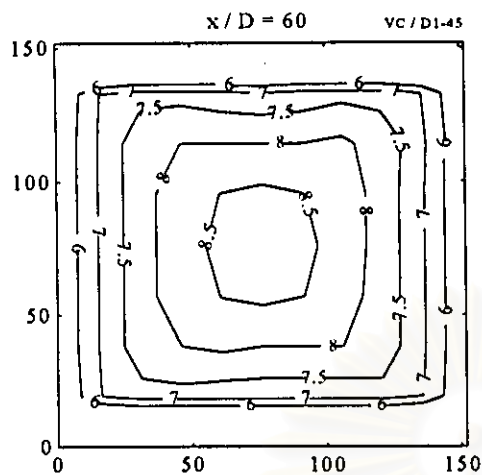
รูปที่ ค.3(ต่อ) Velocity Contour กรณี D1-45 ที่ $x/D = 24, 26, 28, 30, 32$ และ 34



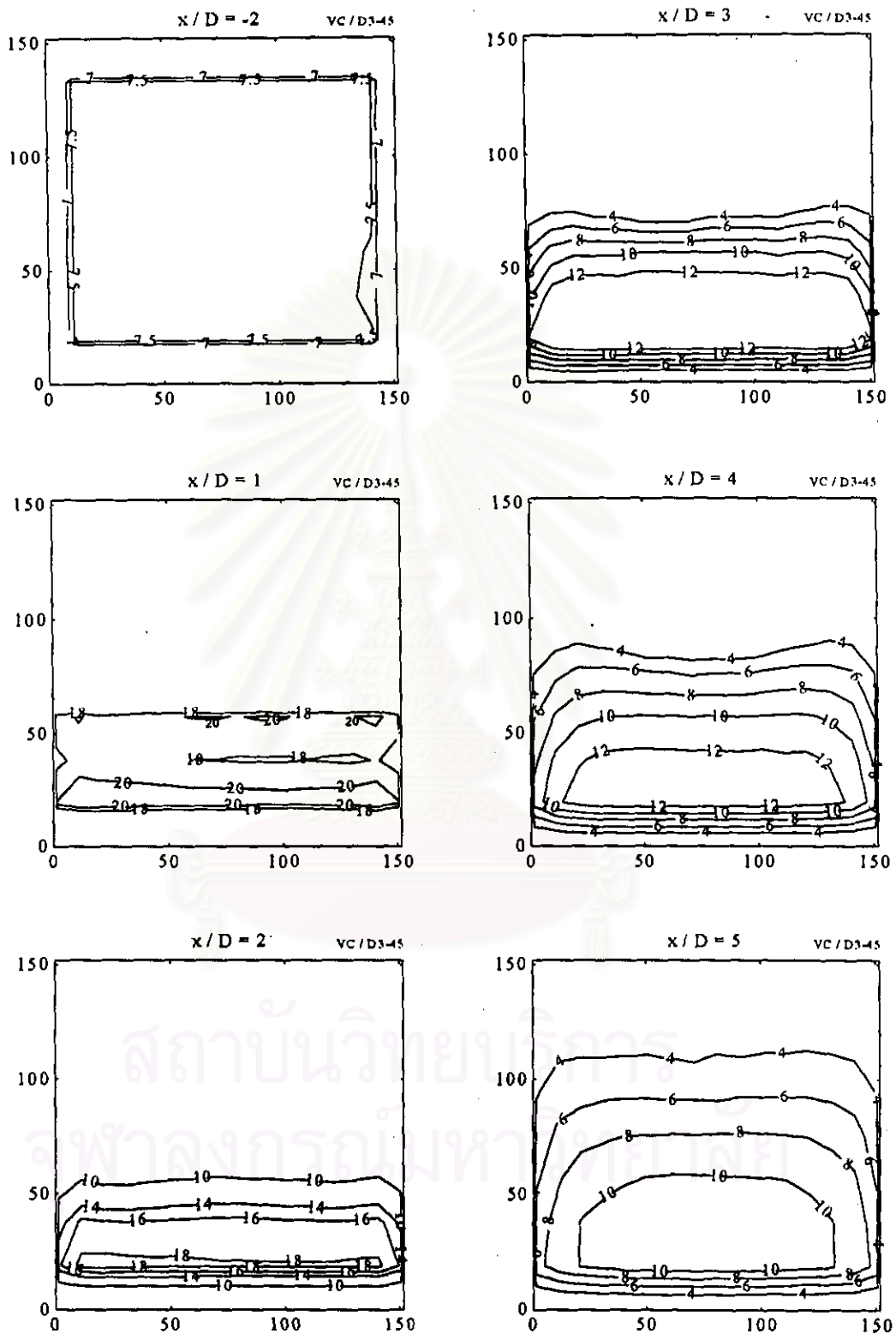
รูปที่ ค.3(ต่อ) Velocity Contour กรณี $D1-45$ ที่ $x/D = 36, 38, 40, 42, 44$ และ 46



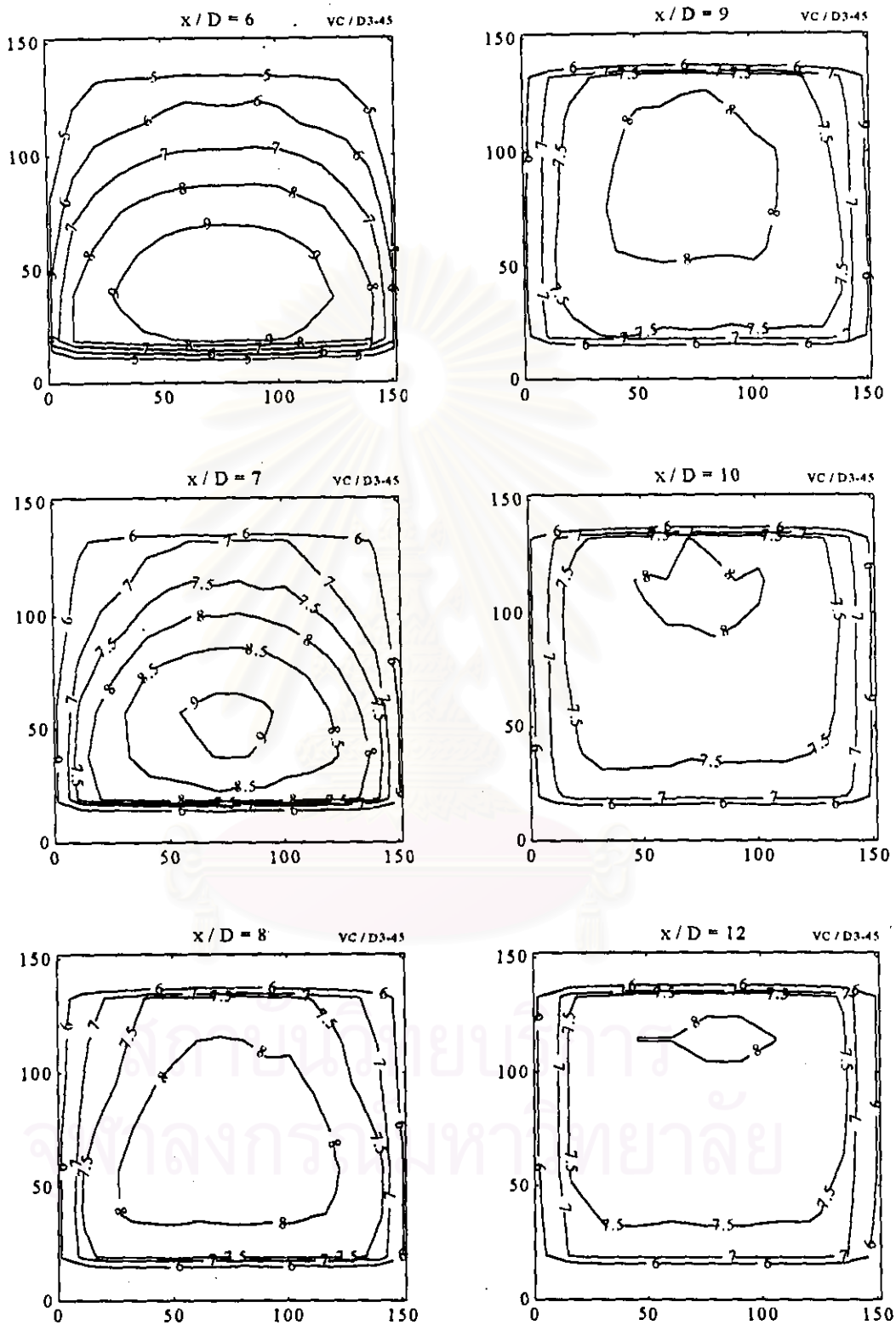
รูปที่ ค.3(ต่อ) Velocity Contour กรณี D1-45 ที่ $x/D = 48, 50, 52, 54, 56$ และ 58



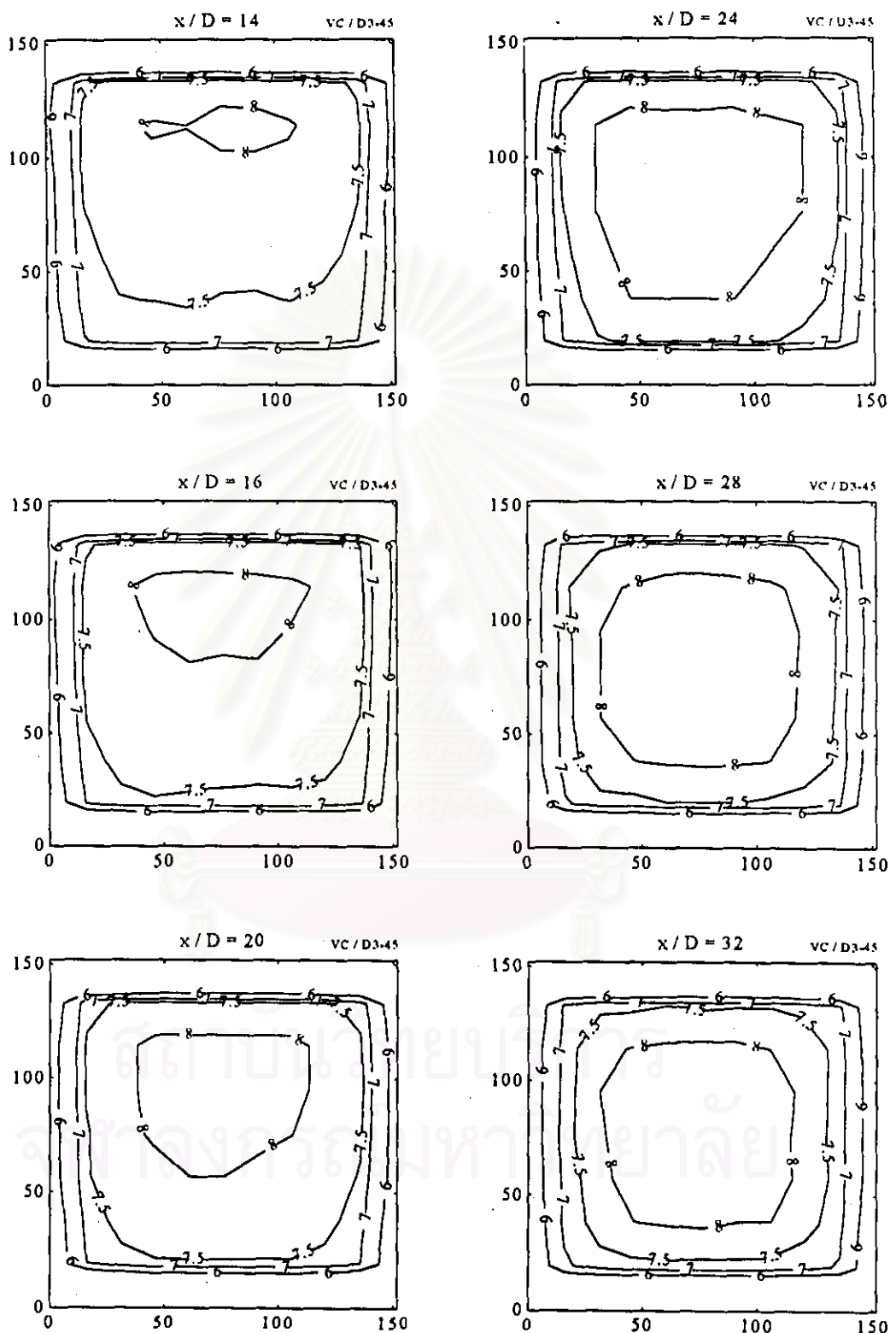
รูปที่ ค.3(ต่อ) Velocity Contour กรณี D1-45 ที่ $x / D = 60$



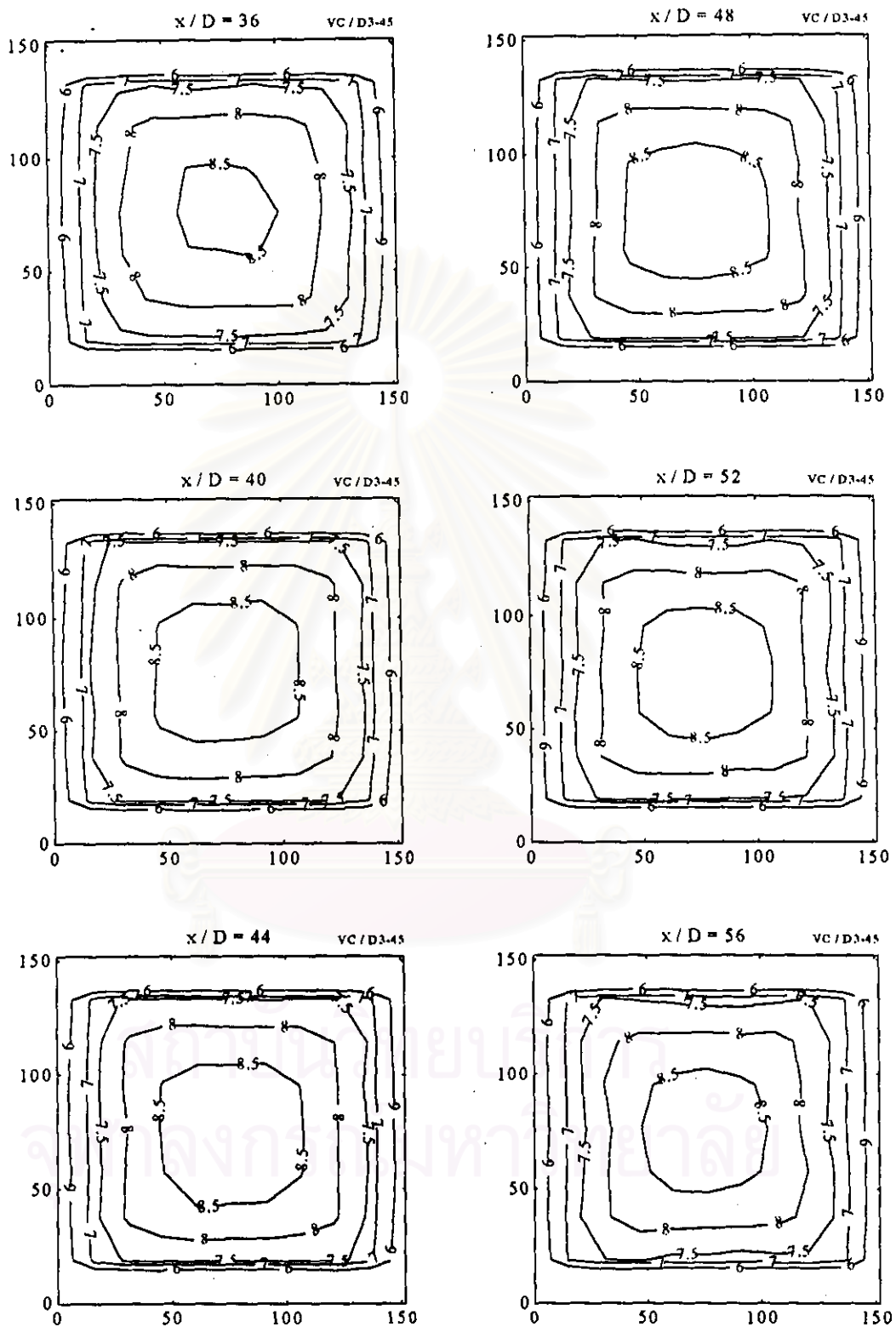
รูปที่ ๔ Velocity Contour กรณี D3-45 ที่ $x/D = -2, 1, 2, 3, 4$ และ 5



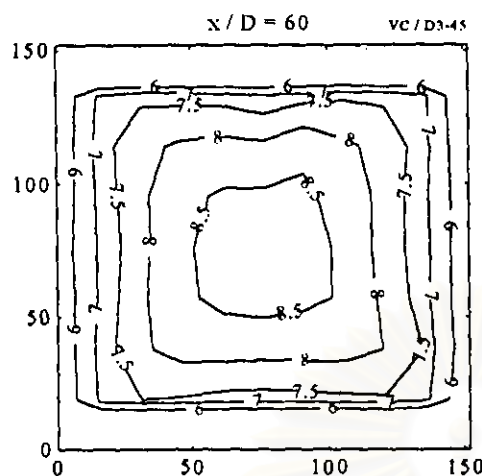
รูปที่ ก.4(ต่อ) Velocity Contour กรณี D3-45 ที่ $x/D = 6, 7, 8, 9, 10$ และ 12



รูปที่ ค.4(ต่อ) Velocity Contour กรณี D3-45 ที่ $x/D = 14, 16, 20, 24, 28$ และ 32

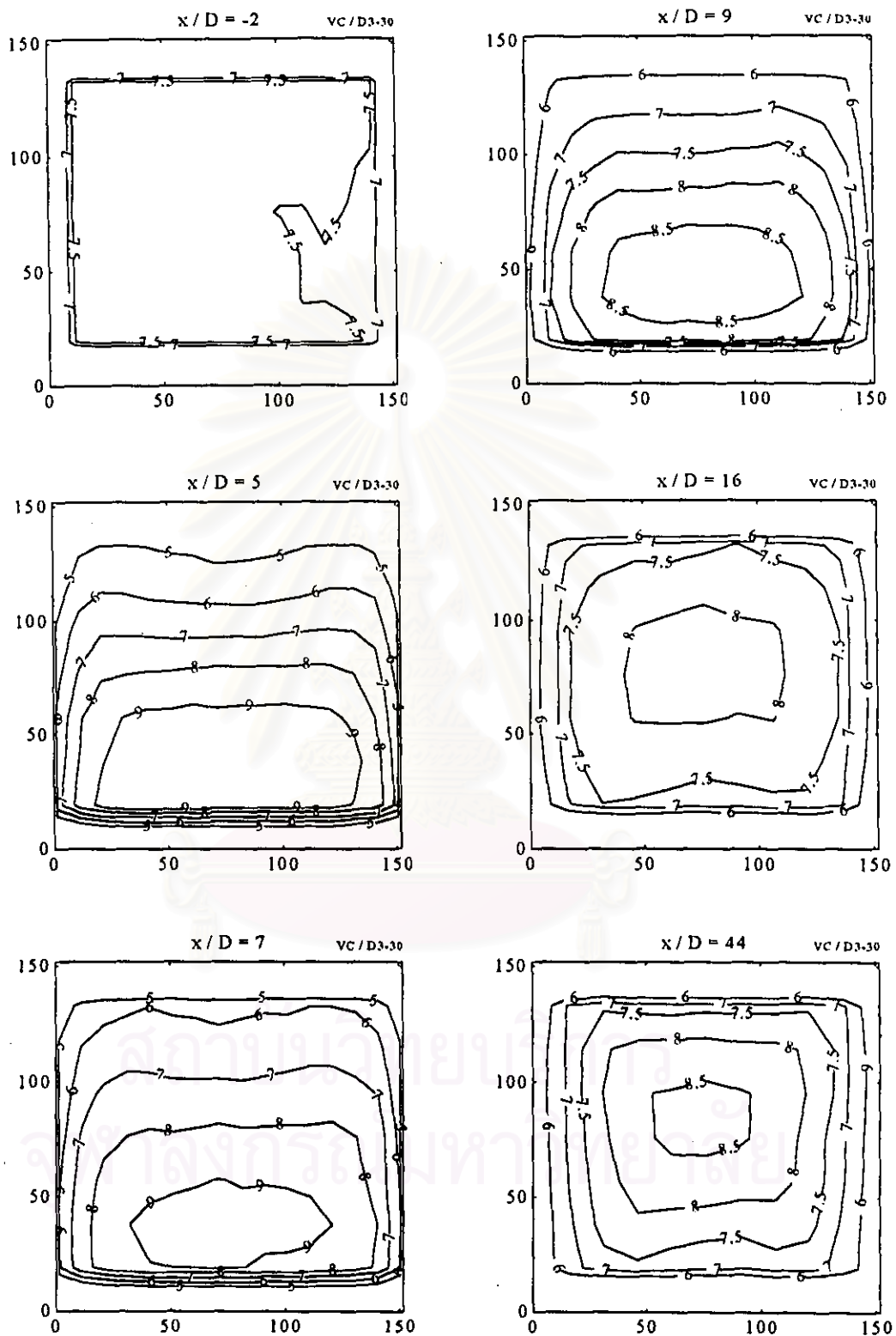


รูปที่ ค.4(ต่อ) Velocity Contour กรณี D3-45 ที่ $x/D = 36, 40, 44, 48, 52$ และ 56

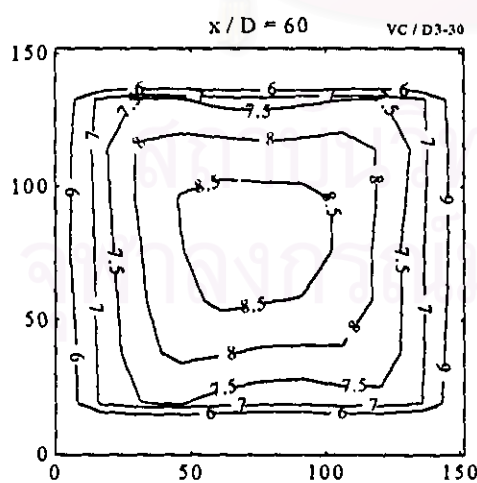
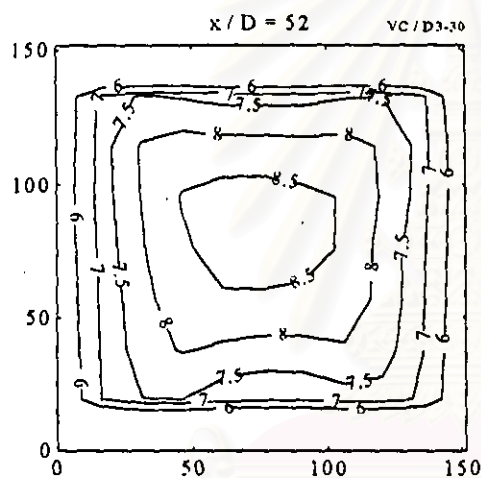
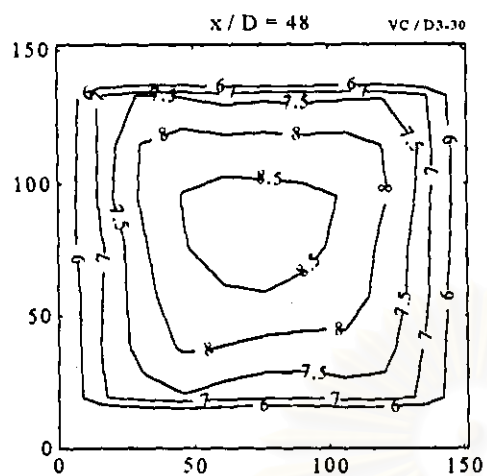


รูปที่ ค.4(ต่อ) Velocity Contour กรณี D3-45 ที่ $x / D = 60$

สถาบันวิทยบริการ
จุฬาลงกรณ์มหาวิทยาลัย



รูปที่ ๐.๕ Velocity Contour กรณี D3-30 ที่ $x/D = -2, 5, 7, 9, 16$ และ ๔๔



รูปที่ ก.๕(ต่อ) Velocity Contour กรณี D3-30 ที่ $x / D = 48, 52$ และ 60

ภาคผนวก ง

ความแตกต่างของความเร็วภายในหน้าตัด

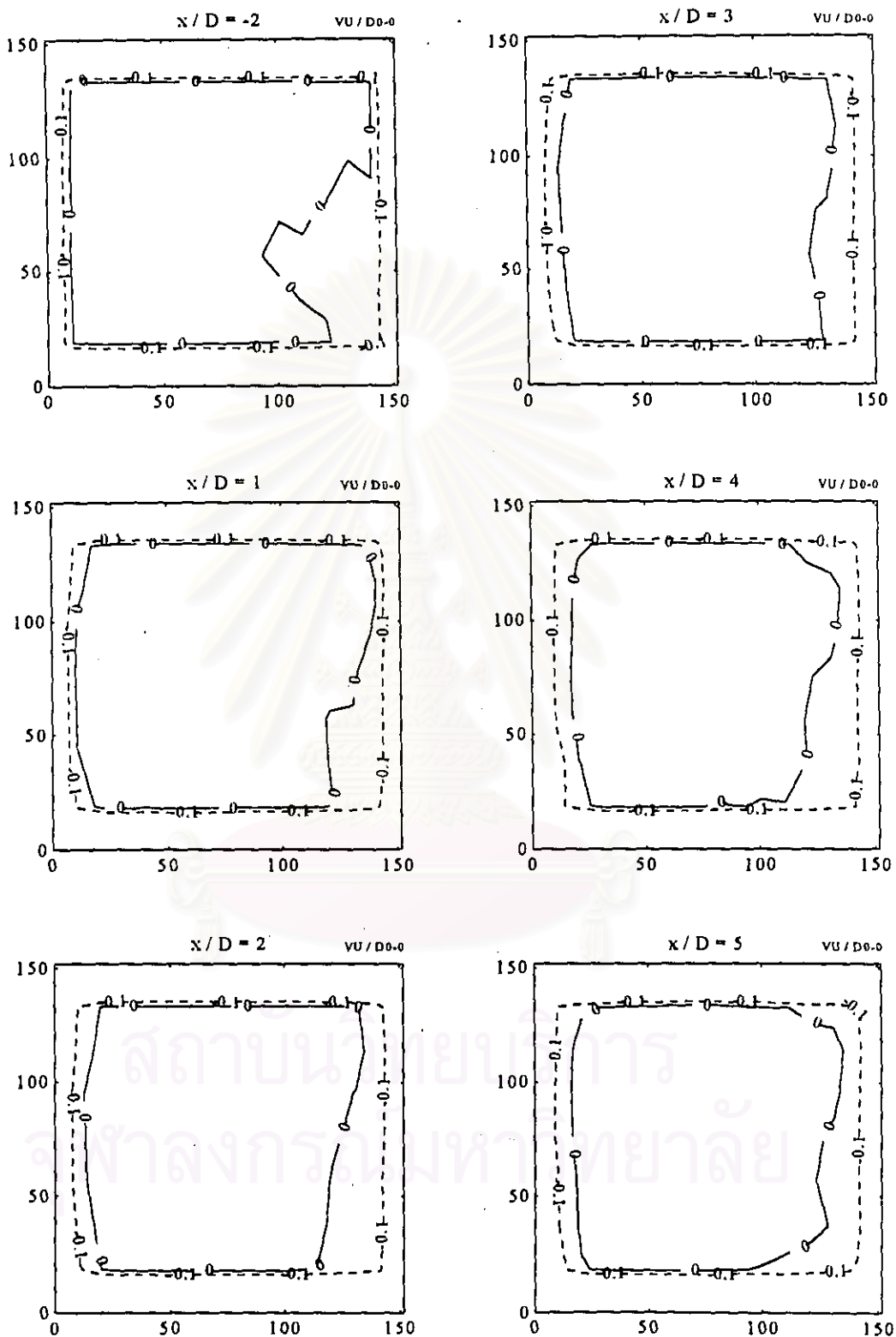
ในการแสดงลักษณะของความแตกต่างของความเร็วจากค่าความเร็วเฉลี่ยในหน้าตัดได้ ฯ นั้น จะแสดงโดยเส้น contour ของตัวแปร ε_V ซึ่งนิยามโดย

$$\varepsilon_V = \frac{V - U}{U}$$

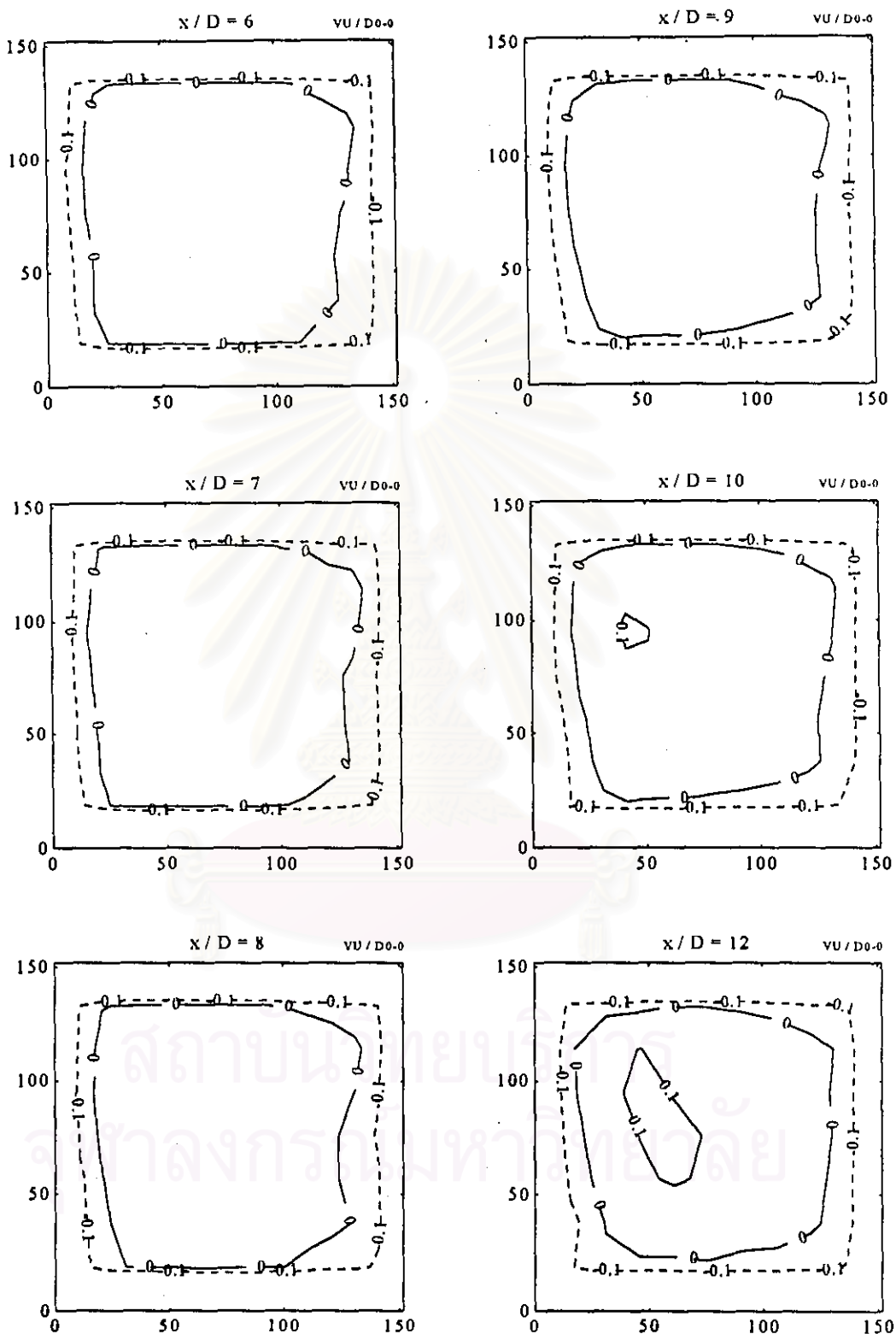
โดยที่ V คือ ความเร็วที่ต่ำแทนงาด ๆ กายในหน้าตัดท่อ
 U คือ ความเร็วสำหรับเส้นอ

สำหรับ contour ของ ε_V ในกราฟของกรีดการไหกของอากาศผ่านแม่นเปอร์เซ็นต์ 1 และ 3 แผ่น ที่มุน 30 และ 45 องศาในการทดสอบ จะแสดงอยู่ในรูปที่ ง.1 ถึง ง.5 ดังแสดงในหน้าต่อไป จะพบว่า สำหรับการไหกในทุกรูปแบบ ค่าความเร็วสูงสุดภายในหน้าตัดที่สภาวะพื้นที่ที่มีค่ามากกว่าค่าความเร็วเฉลี่ยประมาณ 10 เปอร์เซ็นต์

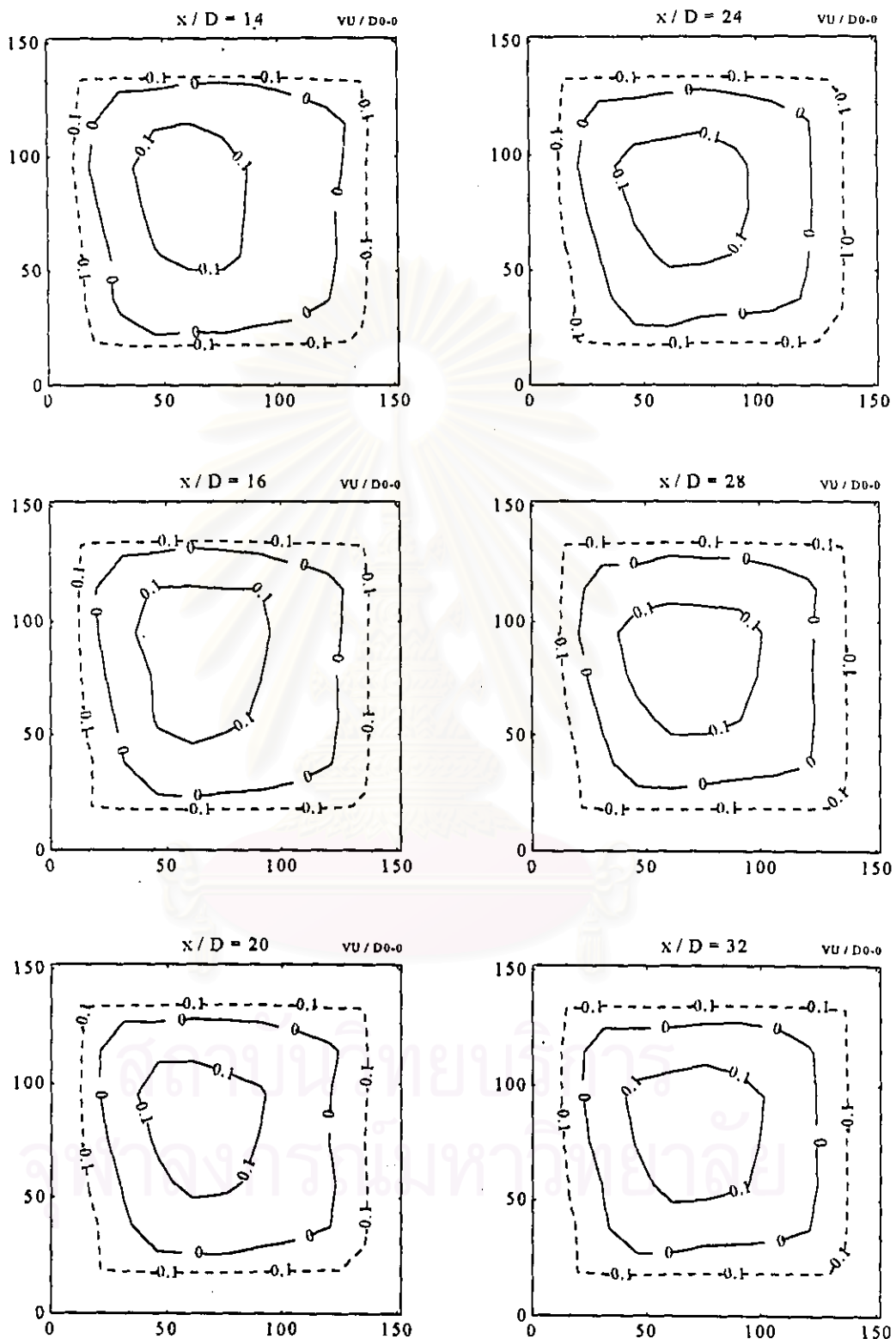
สถาบันวิทยบริการ
จุฬาลงกรณ์มหาวิทยาลัย



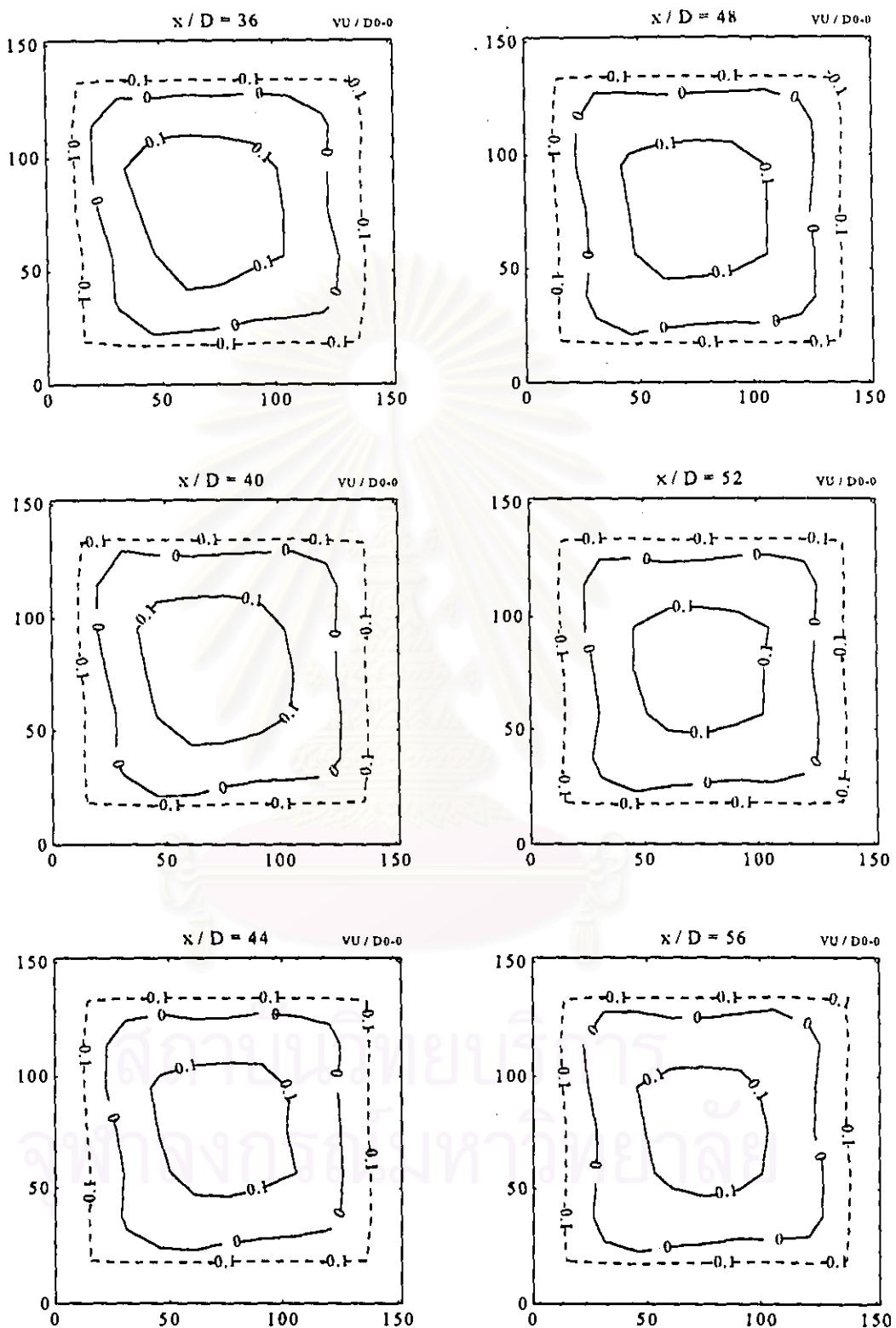
รูปที่ 3.1 Contour แสดงค่าความแตกต่างของความเร็ว กรณี $D_0=0$ ที่ $x/D = -2, 1, 2, 3, 4$ และ 5



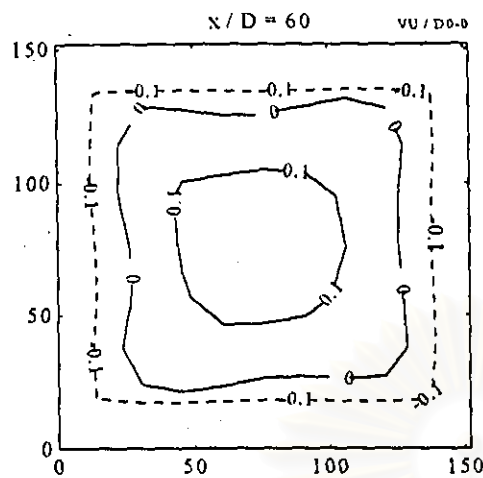
รูปที่ ๓.๑(ต่อ) Contour แสดงค่าความแตกต่างของความเร็ว กรณี D_{0-0} ที่ $x / D = 6, 7, 8, 9, 10$
และ 12



รูปที่ ๓.๑(ต่อ) Contour แสดงค่าความแตกต่างของความเร็ว กรณี D_{0-0} ที่ $x / D = 14, 16, 20, 24, 28$ และ 32

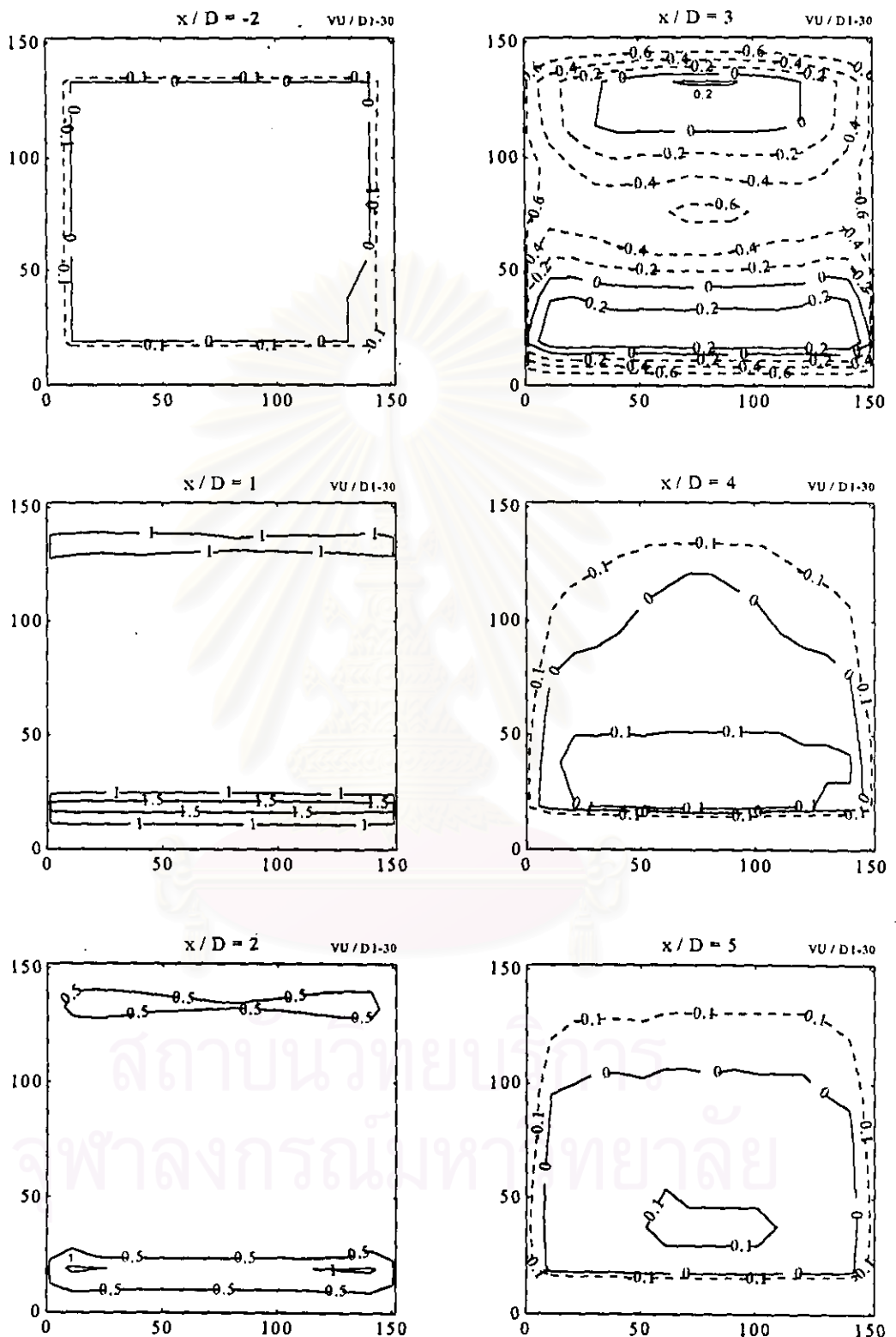


รูปที่ ง.1(ต่อ) Contour แสดงค่าความแตกต่างของความเร็ว กรณี $D0-0$ ที่ $x / D = 36, 40, 44, 48, 52$ และ 56

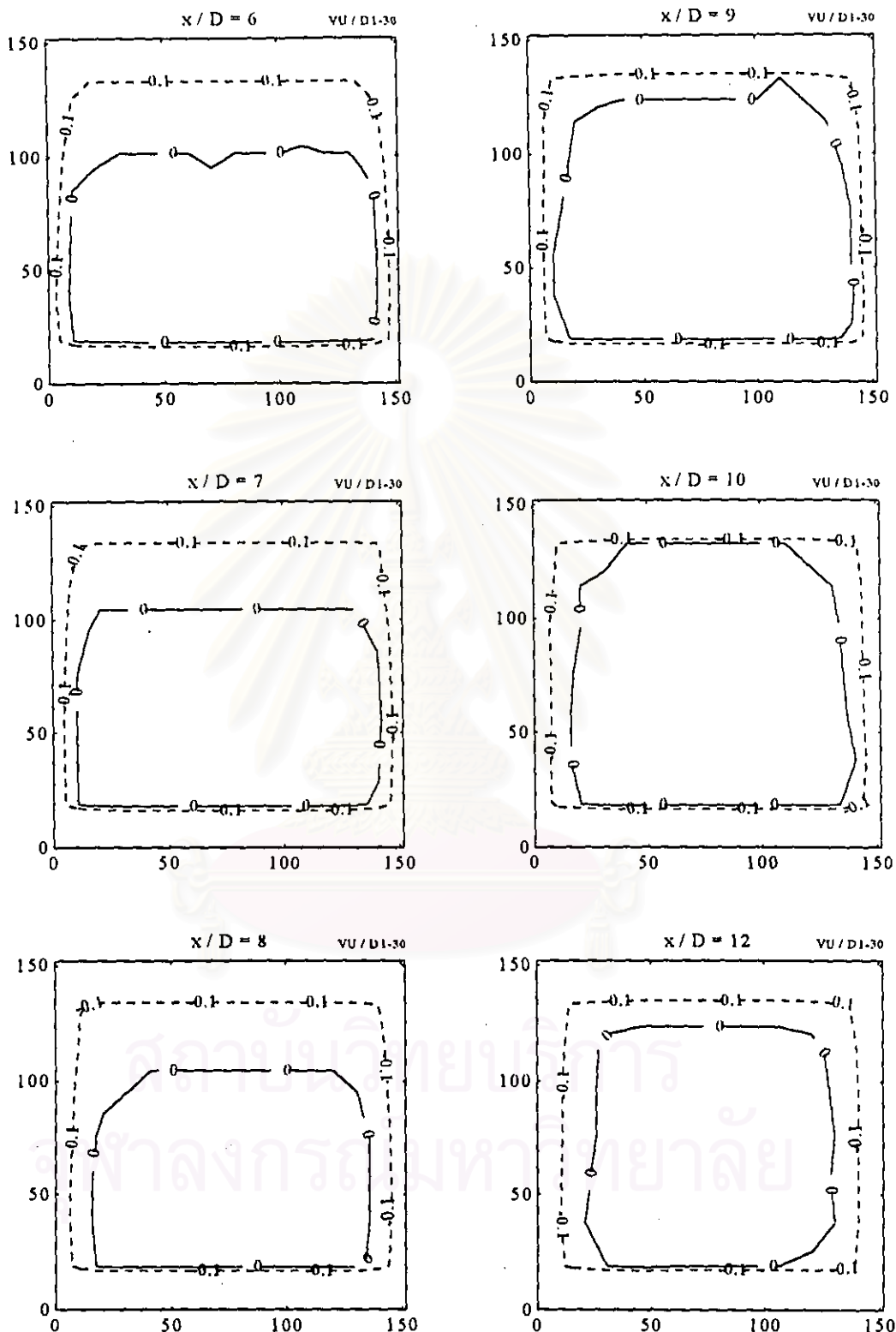


รูปที่ 4.1(ต่อ) Contour แสดงค่าความแตกต่างของความเร็ว กรณี $D0-0$ ที่ $x / D = 60$

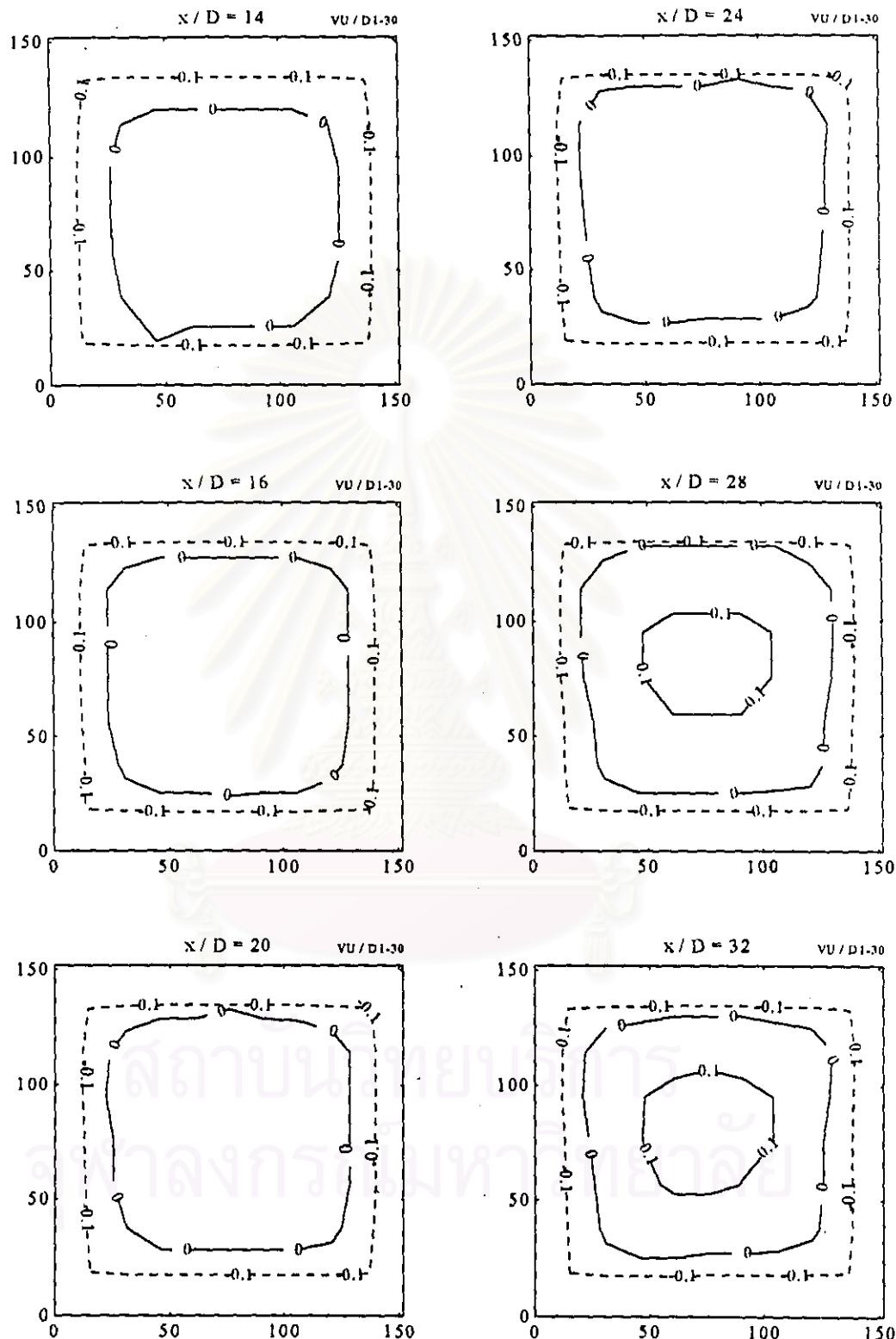
สถาบันวิทยบริการ
จุฬาลงกรณ์มหาวิทยาลัย



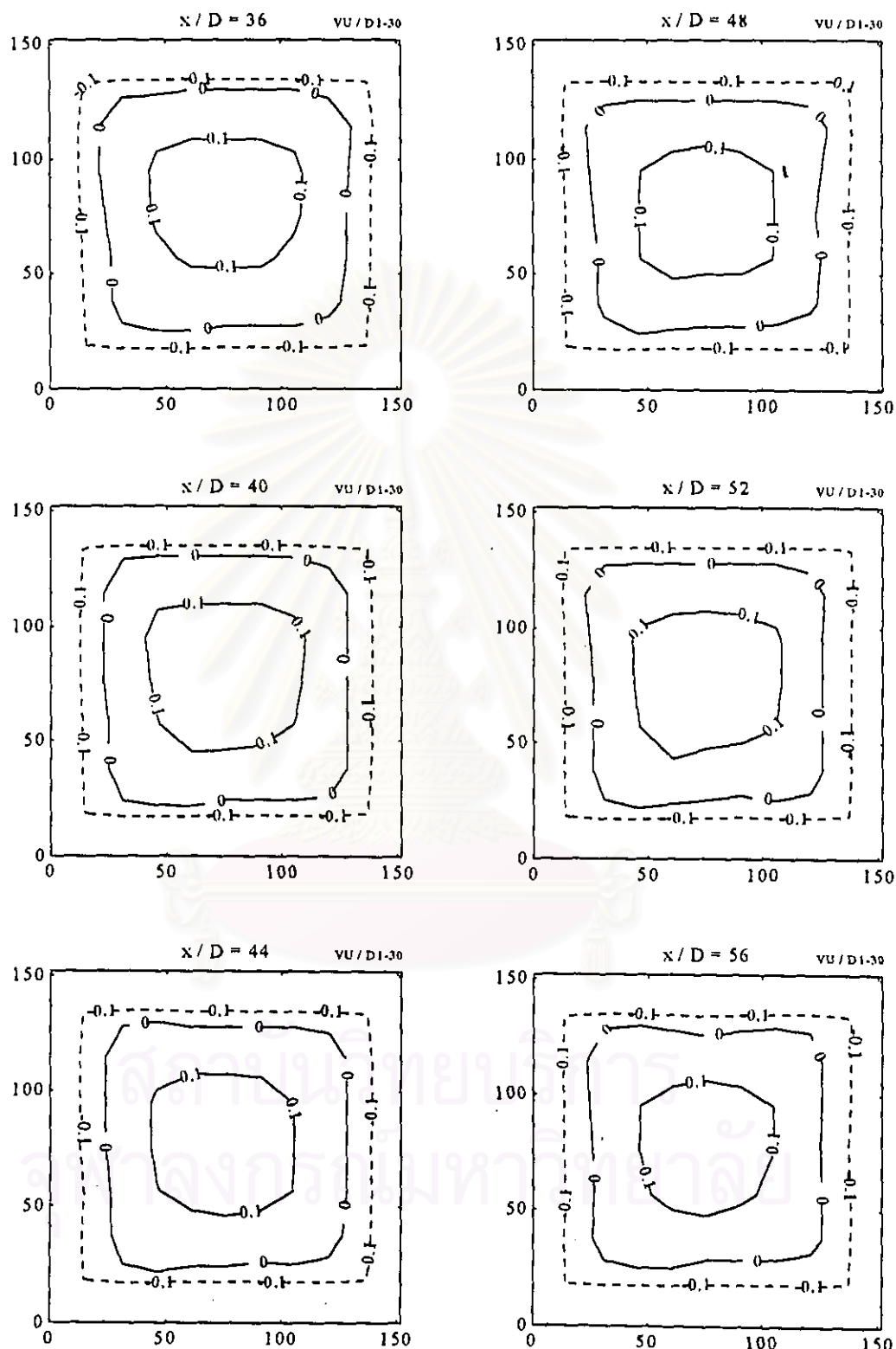
รูปที่ 4.2 Contour แสดงค่าความแตกต่างของความเร็ว กรณี D1-30 ที่ $x / D = -2, 1, 2, 3, 4$ และ 5



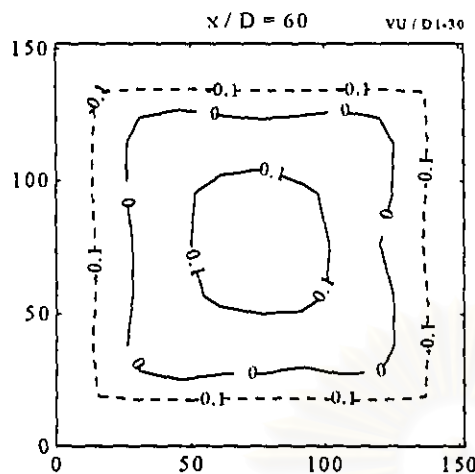
รูปที่ ๑.๒(ต่อ) Contour แสดงค่าความแตกต่างของความเร็ว กรณี D1-30 ที่ $x / D = 6, 7, 8, 9, 10$
และ ๑๒



รูปที่ 4.2(ต่อ) Contour แสดงค่าความแตกต่างของความเร็ว กรณี D1-30 ที่ $x / D = 14, 16, 20, 24, 28$ และ 32

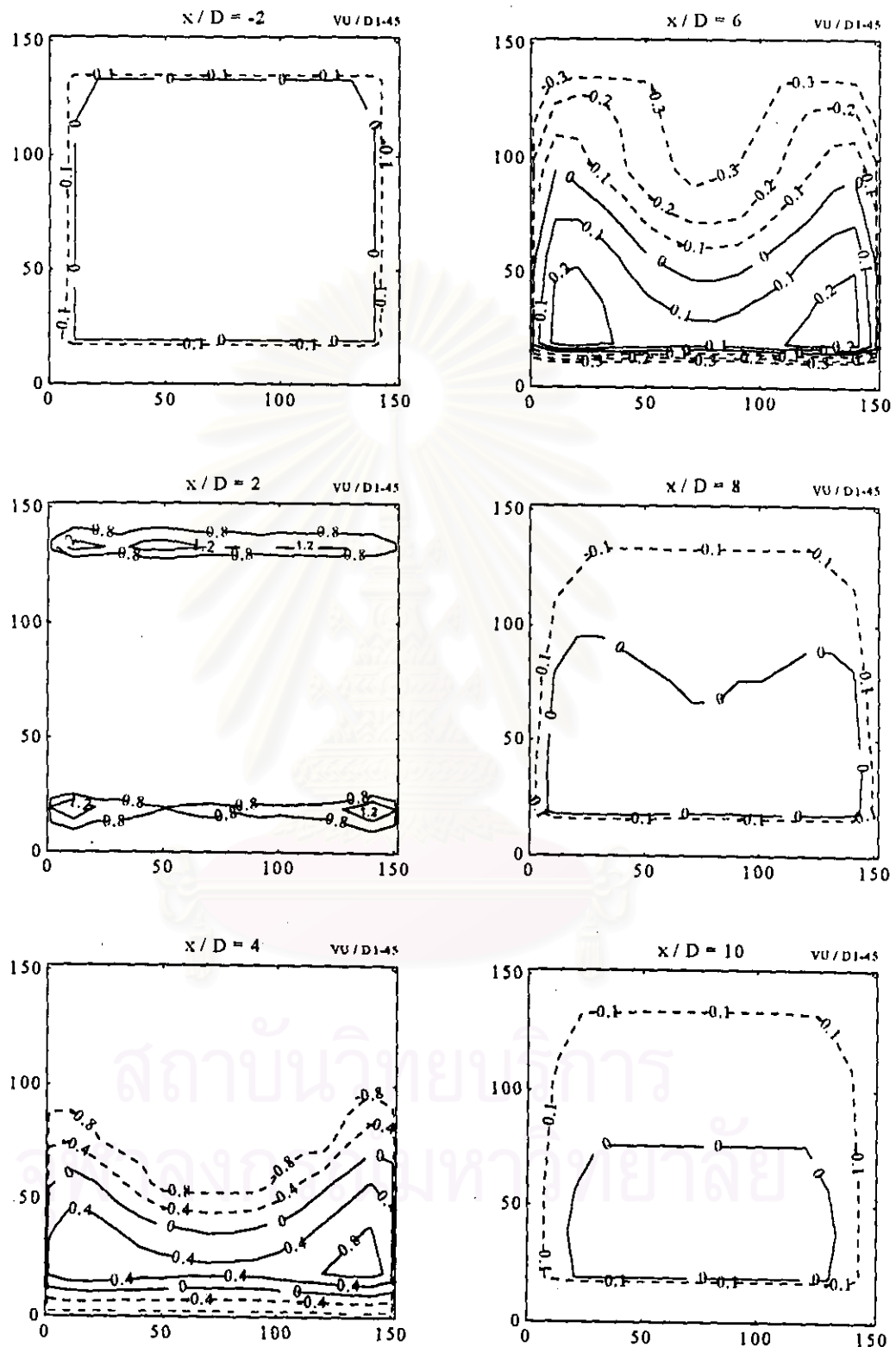


รูปที่ 4.2(ต่อ) Contour แสดงค่าความแตกต่างของความเร็ว กรณี D1-30 ที่ $x / D = 36, 40, 44, 48, 52$ และ 56

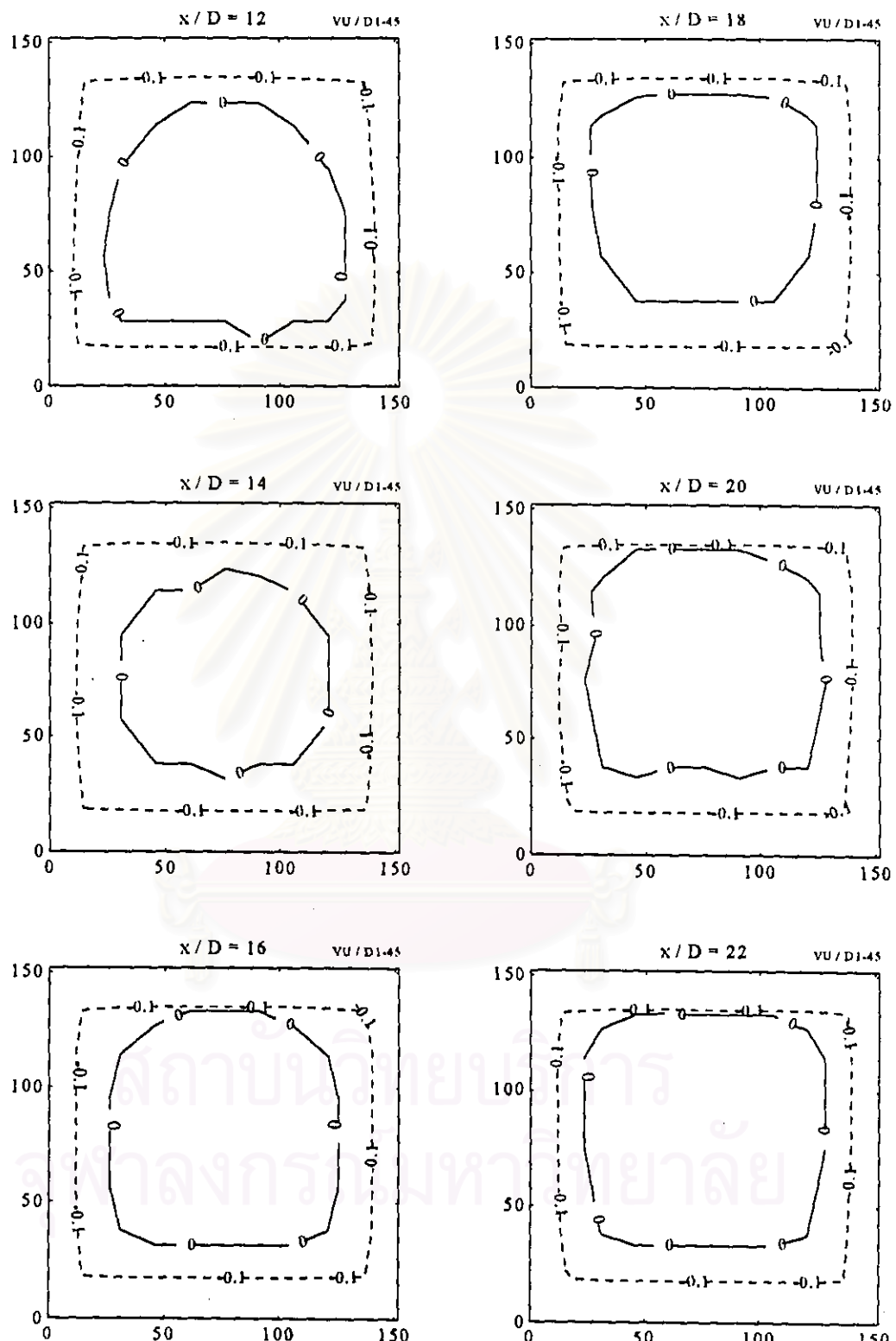


รูปที่ ๓.๒(ต่อ) Contour แสดงค่าความแตกต่างของความเร็วกรณี D1-30 ที่ $x / D = 60$

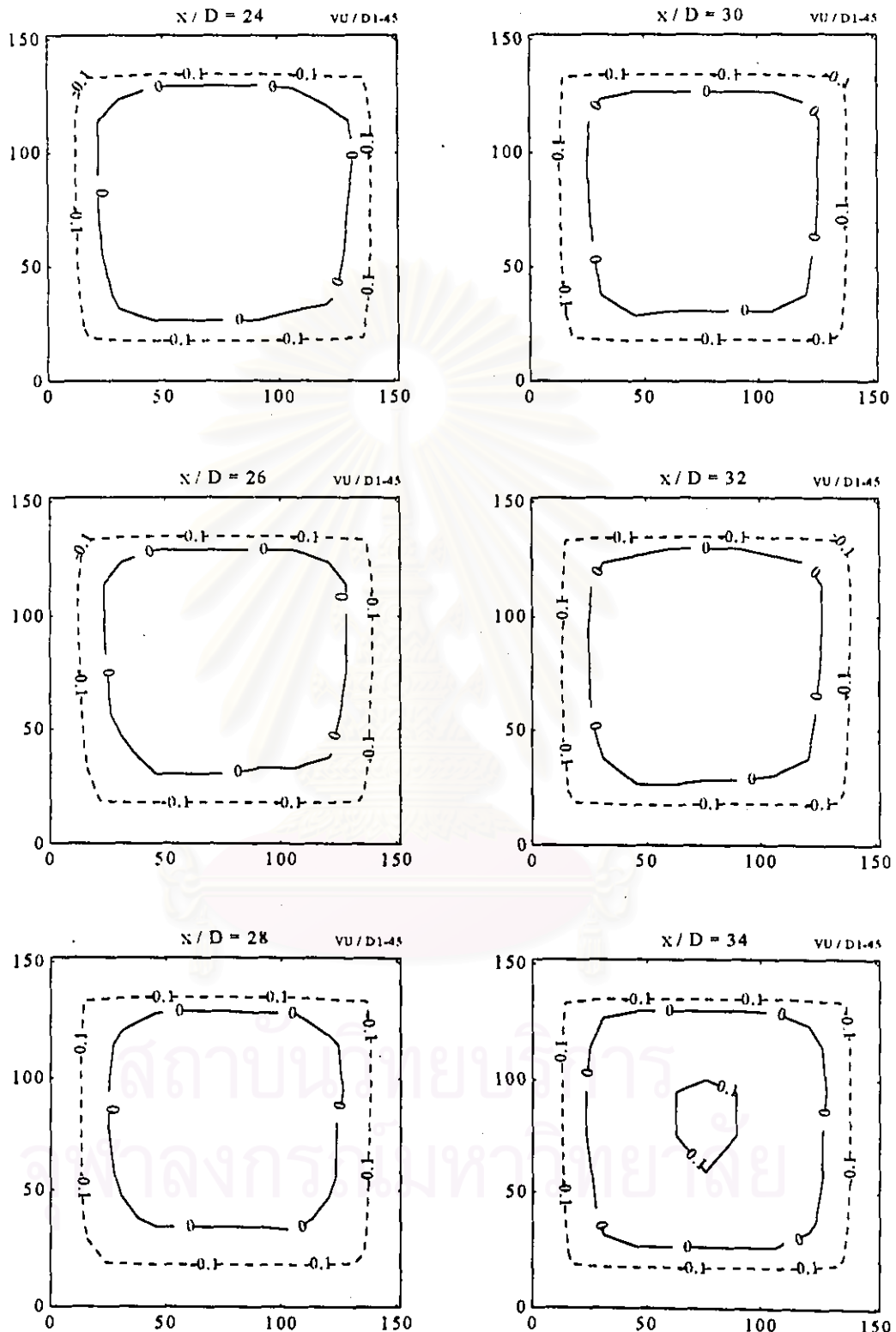
สถาบันวิทยบริการ
จุฬาลงกรณ์มหาวิทยาลัย



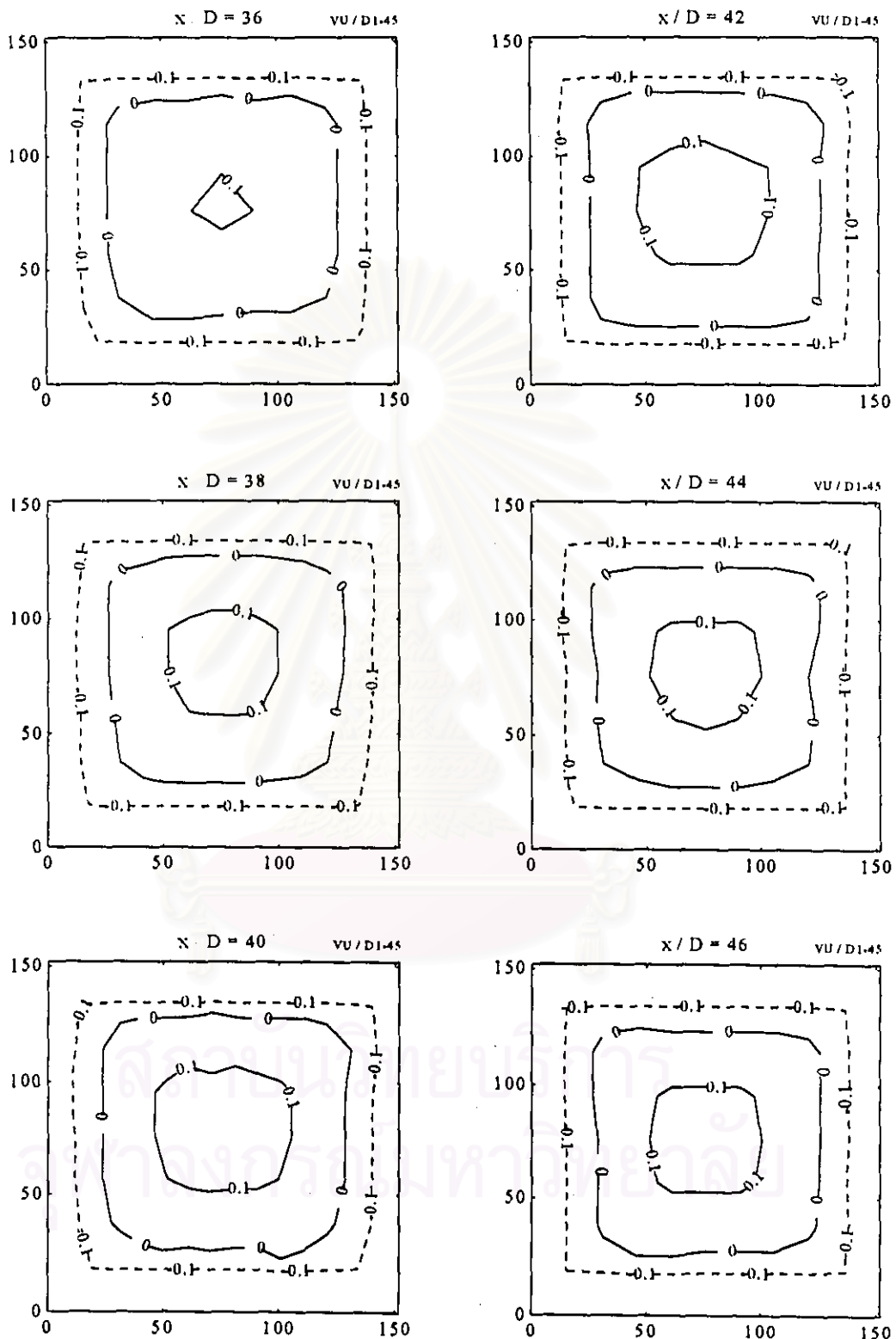
รูปที่ ๑.๓ Contour แสดงค่าความแตกต่างของความเร็ว กรณี D1-45 ที่ $x / D = -2, 2, 4, 6, 8$
และ 10



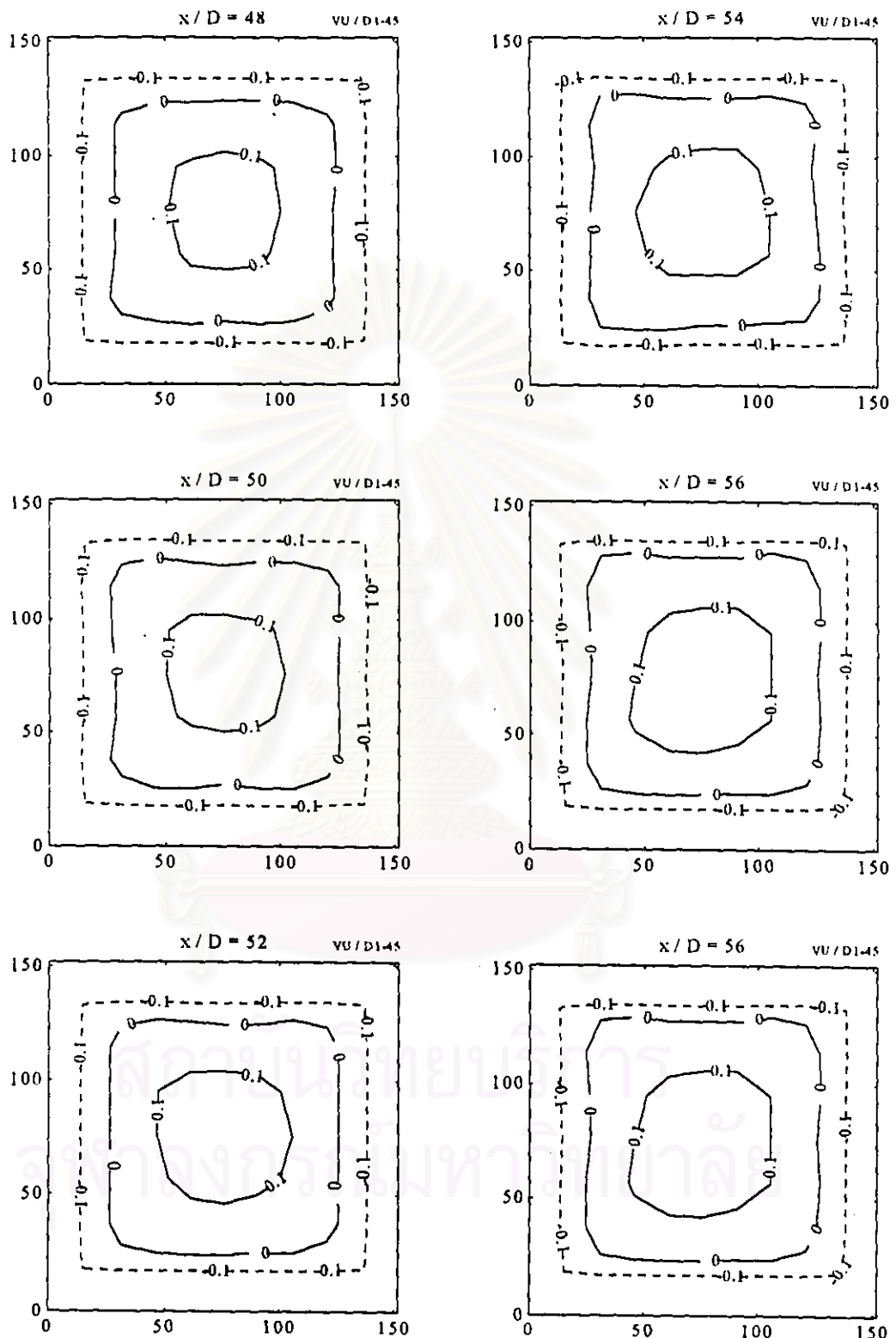
รูปที่ ง.3(ต่อ) Contour แสดงค่าความแตกต่างของความเร็ว กรณี D1-45 ที่ $x/D = 12, 14, 16, 18, 20$ และ 22



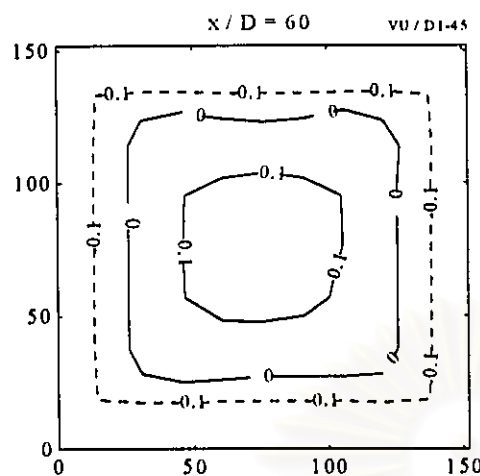
รูปที่ ๑.๓(ต่อ) Contour แสดงค่าความแตกต่างของความเร็ว กรณี D1-45 ที่ $x / D = 24, 26, 28, 30, 32$ และ 34



รูปที่ ๙.๓(๗๙) Contour แสดงค่าความแตกต่างของความเร็ว กรณี D1-45 ที่ $x / D = 36, 38, 40, 42, 44$ และ 46

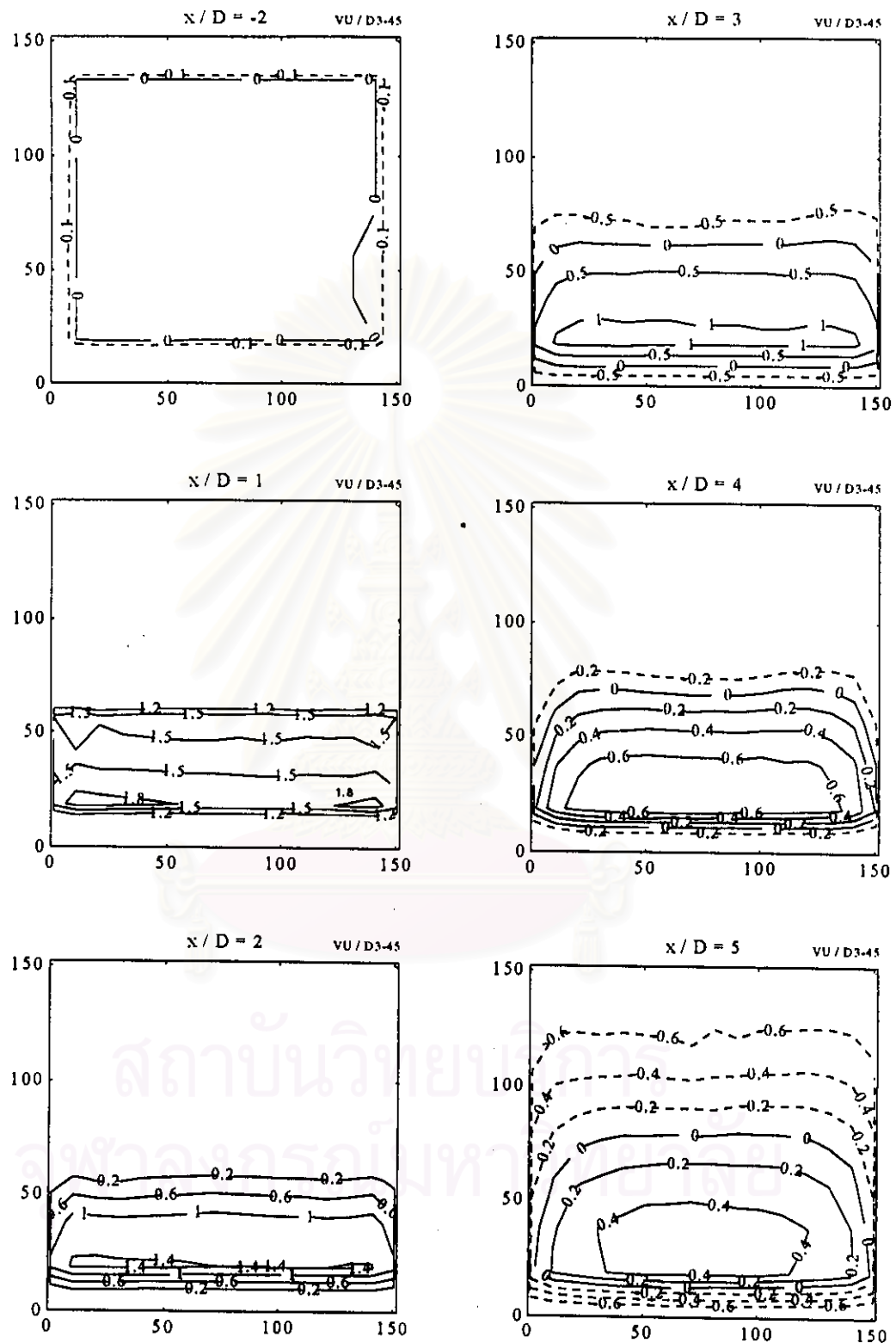


รูปที่ ๑.๓(ต่อ) Contour แสดงค่าความแตกต่างของความเร็ว กรณี D1-45 ที่ $x / D = 48, 50, 52, 54, 56$ และ 58

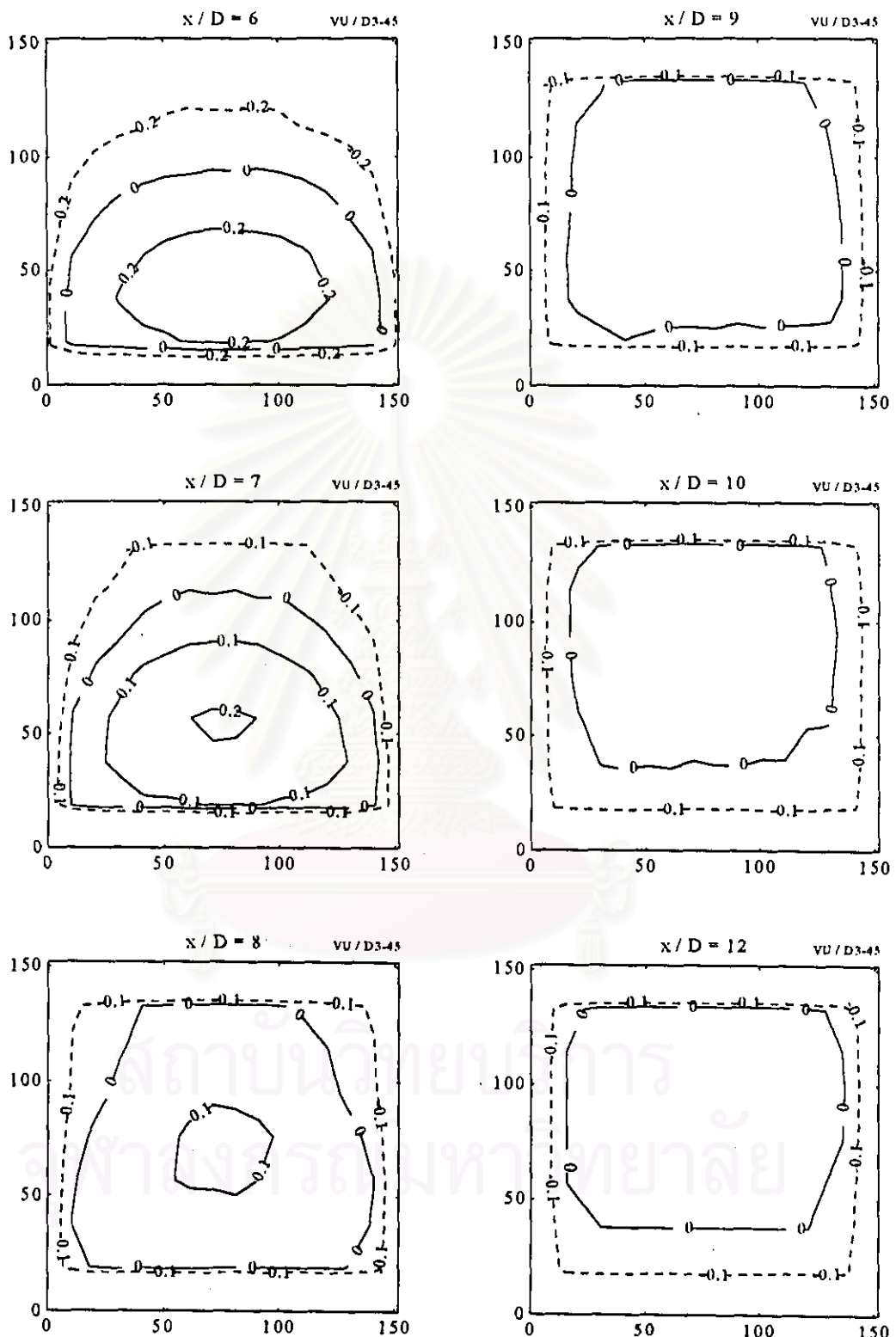


รูปที่ 4.3(ต่อ) Contour แสดงค่าความแตกต่างของความเร็ว กรณี D1-45 ที่ $x / D = 60$

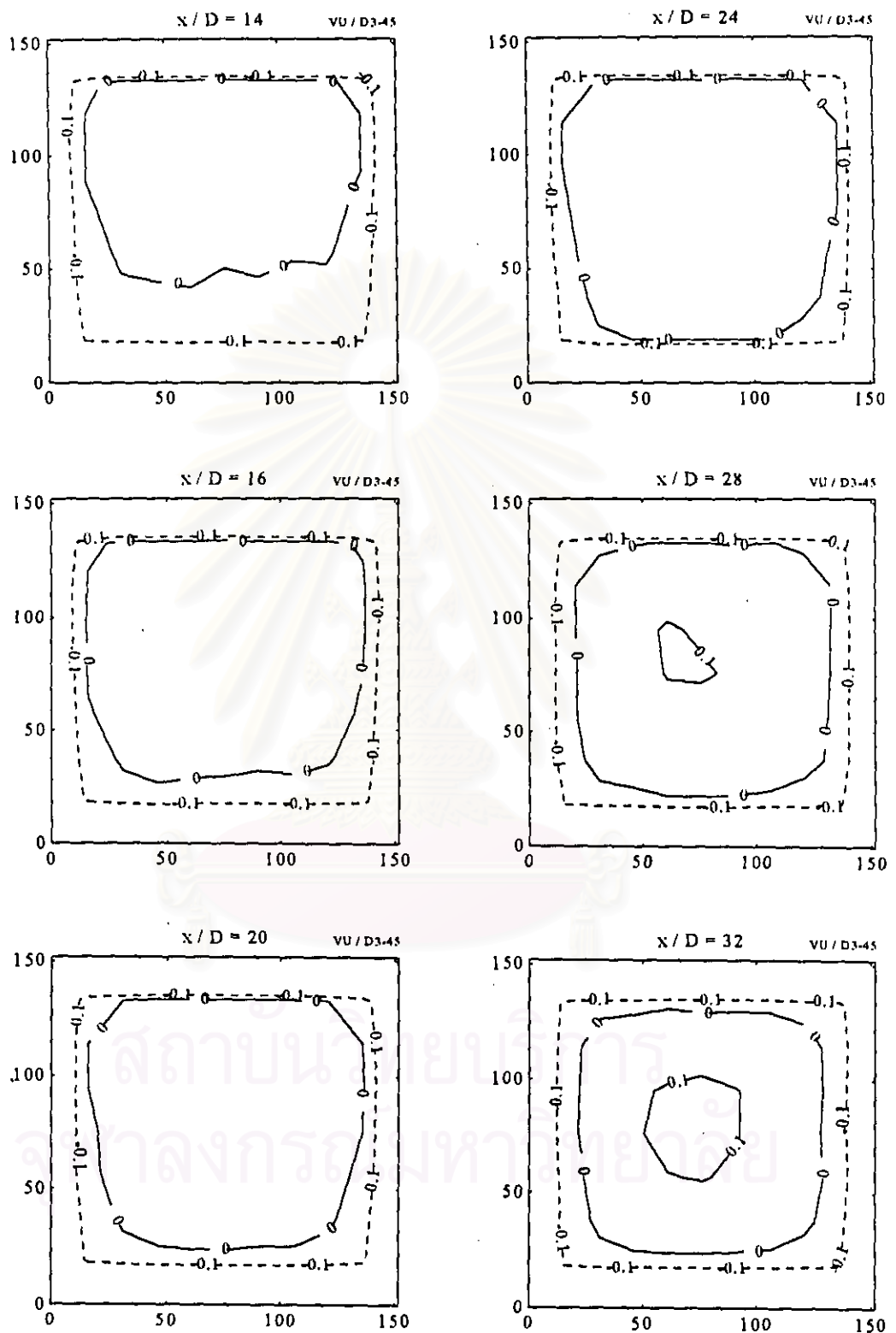
สถาบันวิทยบริการ
จุฬาลงกรณ์มหาวิทยาลัย



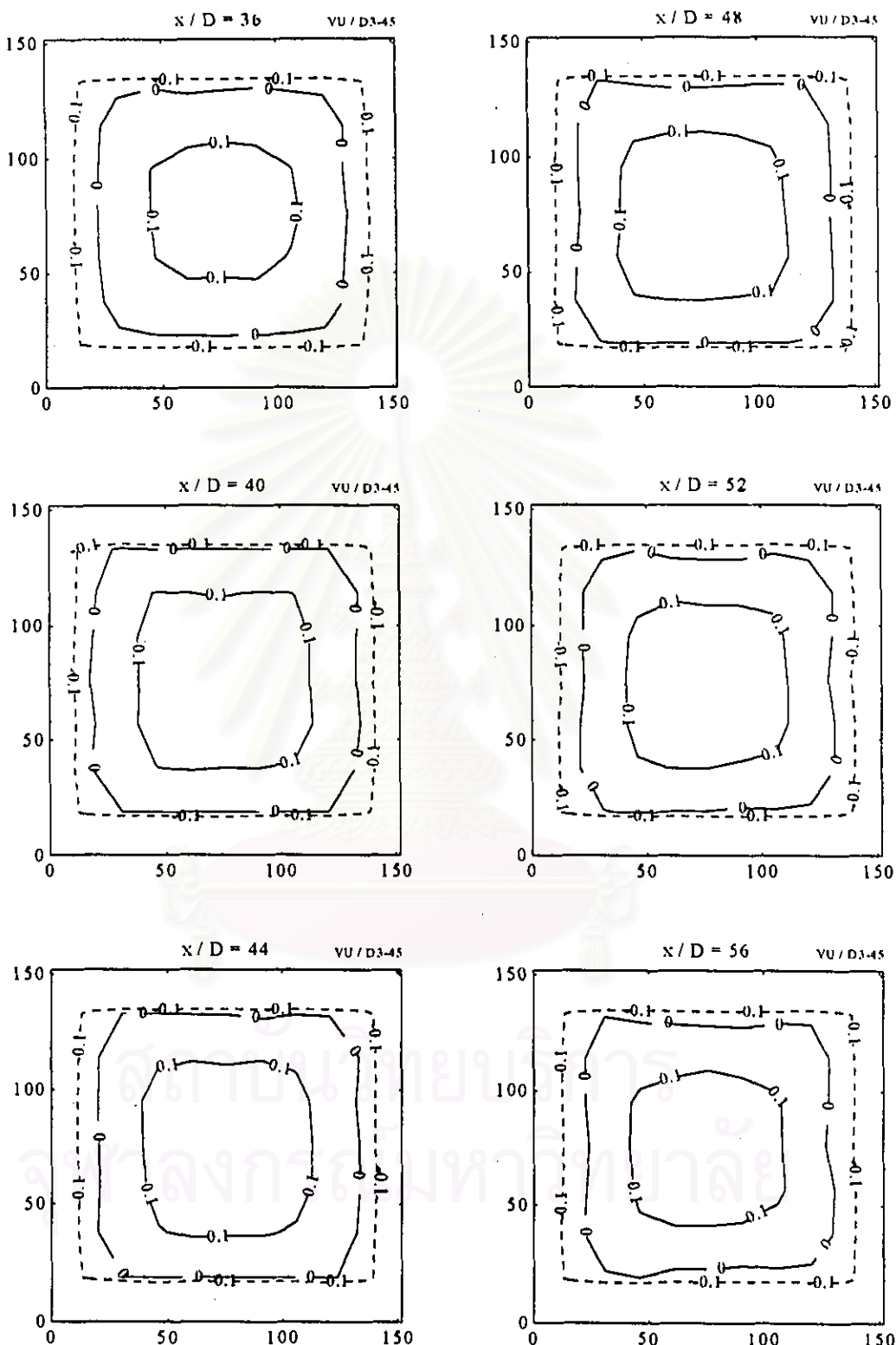
รูปที่ ๓.๔ Contour แสดงถึงความแตกต่างของความเร็ว กรณี D3-45 ที่ $x / D = -2, 1, 2, 3, 4$ และ 5



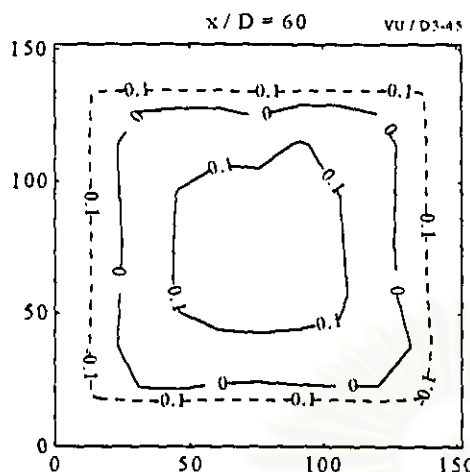
รูปที่ 4.4(ต่อ) Contour แสดงค่าความแตกต่างของความเร็ว กรณี D3-45 ที่ $x/D = 6, 7, 8, 9, 10$
และ 12



รูปที่ 3.4(ต่อ) Contour แสดงค่าความแตกต่างของความเร็ว กรณี D_{3-45} ที่ $x / D = 14, 16, 20, 24, 28$ และ 32

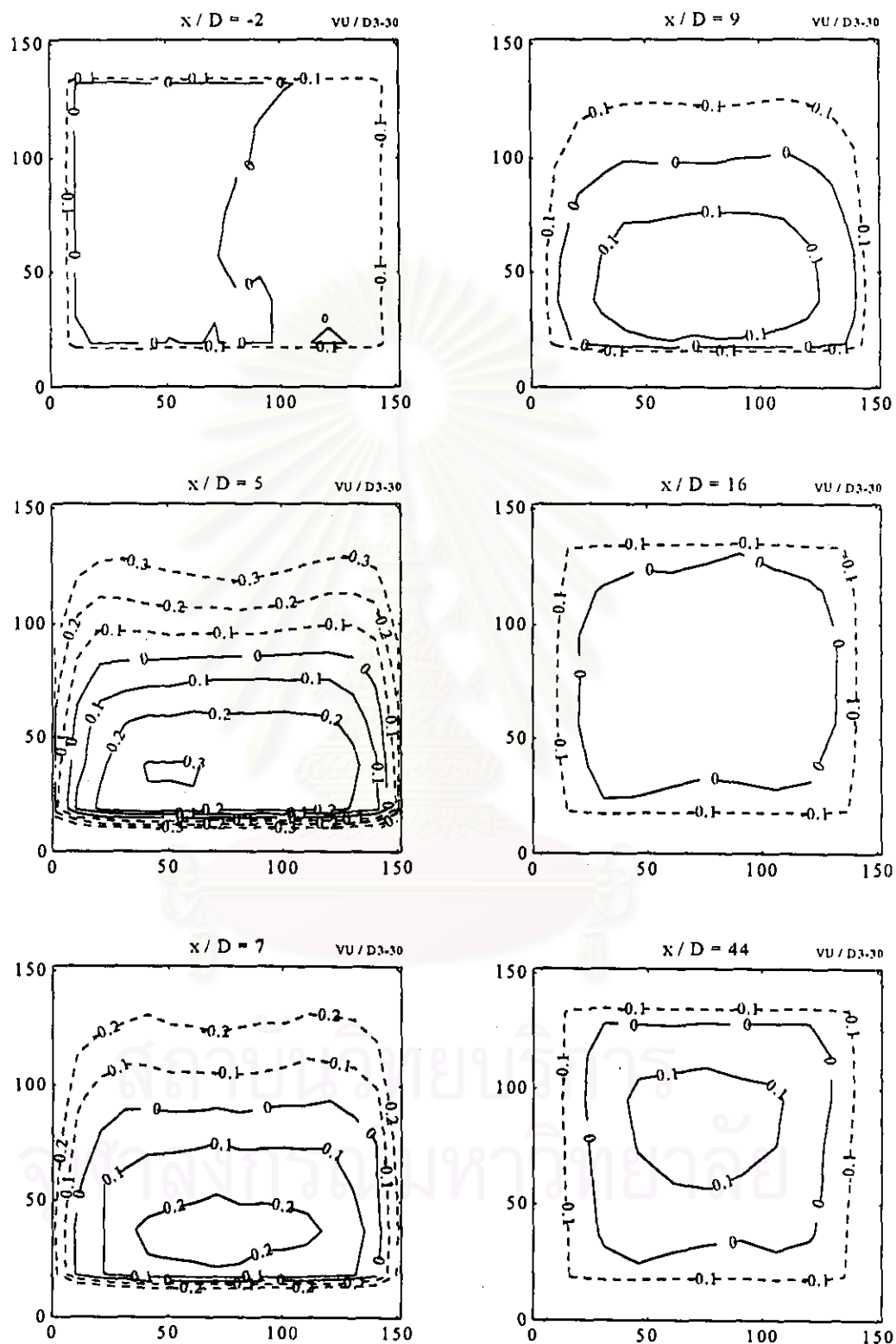


รูปที่ ๓.๔(ต่อ) Contour แสดงค่าความแตกต่างของความเร็ว กรณี D3-45 ที่ $x / D = 36, 40, 44, 48, 52$ และ 56



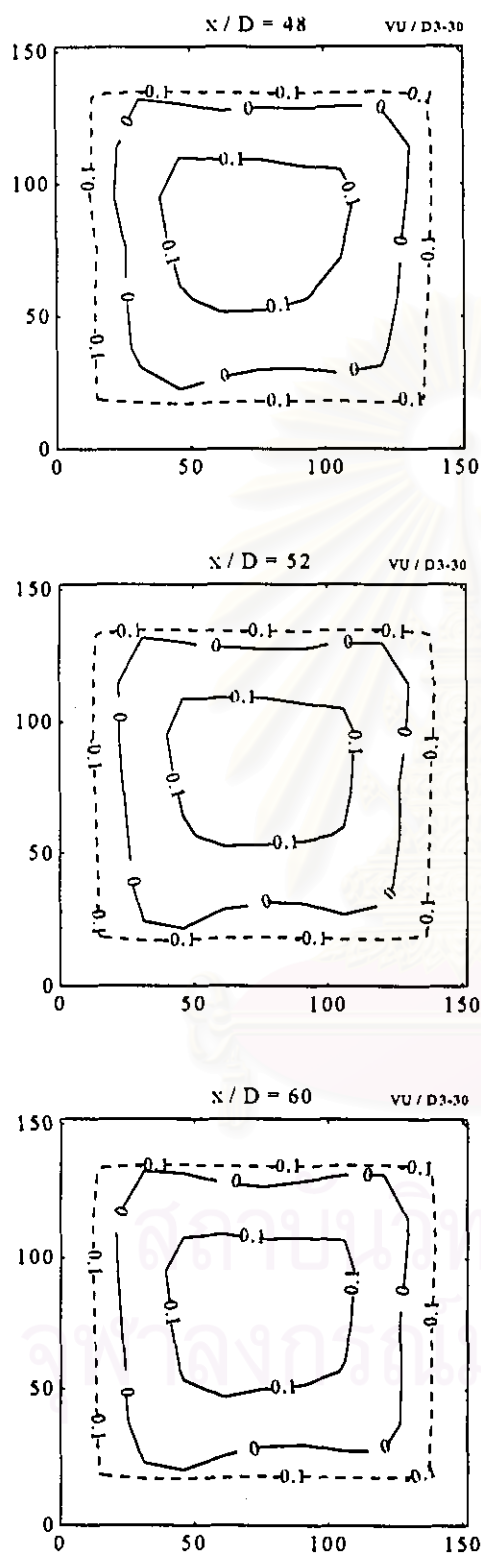
รูปที่ ๓.๔(ต่อ) Contour แสดงค่าความแตกต่างของความเร็ว กรณี D3-45 ที่ $x / D = 60$

สถาบันวิทยบริการ
จุฬาลงกรณ์มหาวิทยาลัย

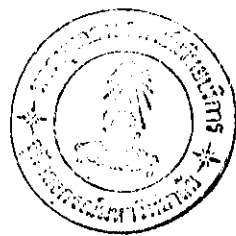


รูปที่ 3.5 Contour แสดงค่าความแตกต่างของความเร็ว กรณี D3-30 ที่ $x / D = -2, 5, 7, 9, 16$

ແຄຣ 44



รูปที่ ๔.๕(ต่อ) Contour แสดงค่าความแตกต่างของความเร็ว กรณี D3-30 ที่ $x / D = 48, 52$ และ 60



ประวัติผู้เขียน

นายศุทธรรน น้ำครี เกิดวันที่ 27 ตุลาคม พ.ศ. 2515 กรุงเทพมหานคร สำเร็จการศึกษาวิศวกรรมศาสตรบัณฑิต สาขาวิศวกรรมเครื่องกล คณะวิศวกรรมศาสตร์ สถาบันเทคโนโลยีพระจอมเกล้าพระนครเหนือ ในปีการศึกษา 2537 และเข้าศึกษาต่อในหลักสูตรวิศวกรรมศาสตรมหาบัณฑิต สาขาวิศวกรรมเครื่องกล จุฬาลงกรณ์มหาวิทยาลัย ในปีการศึกษา 2538

สถาบันวิทยบริการ
จุฬาลงกรณ์มหาวิทยาลัย